



علوم و تحقیقات بذر ایران

سال نهم / شماره دوم / ۱۴۰۱ (۴۸ - ۳۱)

مقاله پژوهشی

DOI: 10.22124/jms.2022.6150

تأثیر پرایمینگ بر جوانه‌زنی و ویژگی‌های گیاهچه در بذور فرسوده کدو پوست کاغذی تحت شرایط تنفس خشکی

پریسا شیخ‌نواز جاهد^۱، محمد صدقی^{۲*}، رئوف سید شریفی^۳، امید سفالیان^۴

تاریخ پذیرش: ۱۴۰۰/۸/۲۴

تاریخ دریافت: ۱۴۰۰/۶/۲۸

چکیده

به منظور بررسی اثر پرایمینگ بر جوانه‌زنی بذور فرسوده کدو پوست کاغذی تحت تنفس خشکی، آزمایشی به صورت فاکتوریل در قالب طرح کامل تصادفی با ۳ تکرار در آزمایشگاه اجرا شد. تیمارها شامل فرسودگی (شاهد، ۸۵ درصد و ۷۵ درصد)، تنفس خشکی (صفر، ۷۵-۰ و ۱۵-۰ مگاپاسکال) و پرایمینگ (شاهد، هیدروپرایمینگ، پرایمینگ با جیرلین، پرایمینگ Gr24، پرایمینگ با بنزیل‌آمینوپورین و پرایمینگ با اسپرمیدین) بودند. در این پژوهش صفات درصد جوانه‌زنی، سرعت جوانه‌زنی، یکنواختی جوانه‌زنی، وزن خشک ساقه‌چه و ریشه‌چه، محتوای کلروفیل a و b، نسبت کلروفیل a/b، فتوسنتر، محتوای قندهای محلول، درصد چربی کل و فعالیت آنزیم آلفا‌امیلاز مورد مطالعه قرار گرفت. کمترین درصد جوانه‌زنی، سرعت جوانه‌زنی، وزن خشک ریشه‌چه و ساقه‌چه، کلروفیل a، کلروفیل b، نسبت کلروفیل a/b، شدت فتوسنتر و فعالیت آنزیم آلفا‌امیلاز در تیمار خشکی ۱/۵-۰ مگاپاسکال و فرسودگی ۷۵ درصد بود. کمترین یکنواختی جوانه‌زنی در تیمار هورمون پرایمینگ با جیرلین در شرایط عدم تنفس به دست آمد. کمترین محتوای قندها و درصد چربی کل در سطح شاهد (بدون تنفس خشکی)، فرسودگی ۷۵ درصد و در شرایط عدم پرایمینگ بود. بیشترین درصد جوانه‌زنی، وزن خشک ریشه-چه و ساقه‌چه و فعالیت آنزیم آلفا‌امیلاز در تیمار هورمون پرایمینگ با جیرلین، کلروفیل a، کلروفیل b و شدت فتوسنتر در پرایمینگ بذر با اسپرمیدین و نسبت کلروفیل a/b در هیدروپرایمینگ و در شرایط عدم تنفس خشکی و فرسودگی به دست آمد. بیشترین یکنواختی جوانه‌زنی در خشکی ۱/۵-۰ مگاپاسکال و فرسودگی ۷۵ درصد در پرایمینگ شاهد به دست آمد. بیشترین محتوای قندها در شرایط عدم فرسودگی، خشکی ۰/۷۵-۰ مگاپاسکال و تیمار بهروش هیدروپرایمینگ به دست آمد. بیشترین درصد چربی کل در خشکی ۱/۵-۰ مگاپاسکال، عدم فرسودگی و در پرایمینگ با اسپرمیدین مشاهده شد. به طور کلی اعمال تنفس خشکی بر روی بذور فرسوده کدو پوست کاغذی منجر به اختلال و یا کاهش در صفات فیزیولوژیک گردید. از طرفی پرایمینگ بذور با روش‌های مختلف اثرات سوء ناشی از تنفس خشکی و فرسودگی بذور را تقلیل بخشید.

واژه‌های کلیدی: صفات رشدی، گیاهچه، وزن تر، هورمون

jahed.parisa@yahoo.com

۱- دانشجوی دکتری، دانشگاه محقق اردبیلی، اردبیل، ایران.

m_sedghi@uma.ac.ir

۲- استاد، گروه تولید و ژنتیک گیاهی، دانشگاه محقق اردبیلی، اردبیل، ایران.

rssharif@yahoo.com

۳- استاد، گروه تولید و ژنتیک گیاهی، دانشگاه محقق اردبیلی، اردبیل، ایران.

sofalian@uma.ac.ir

۴- استاد، گروه تولید و ژنتیک گیاهی، دانشگاه محقق اردبیلی، اردبیل، ایران.

*نویسنده مسئول: m_sedghi@uma.ac.ir

مقدمه

کدو پوست کاغذی جز گیاهان دارویی و روغنی مهم محسوب می‌شود. عملکرد روغن این گیاه نیز ۴۰ تا ۳۰ درصد می‌باشد (OmidBeyghi, 2000). درصد محظای روغن بذر را اسیدهای چرب تشکیل می‌دهند که مهم‌ترین آن‌ها اسید لینولئیک، اولئیک و پالمتیک و ... می‌باشند. همچنین ۵۰ درصد اسیدهای چرب آن را اسید لینولئیک تشکیل می‌دهد (Fruhwirth and Hermetter, 2008). مطالعات نشان می‌دهد که روغن دانه و فراوردهای حاصل از آن به‌واسطه دارا بودن اسید لینولئیک و β -سیستواترول در درمان بیماری‌های مختلفی نظیر هیپرپلازی پروستات، کاهش کلسترول و اسیدهای چرب اشباع خون کاربرد دارد (Fruhwirth and Hermetter, 2008). با وجود این که گزارش کمی در مورد قوه نامیه پایین در بذرهای کدو پوست کاغذی وجود دارد اما پژوهش‌های مختلفی در مورد تاثیر فرسودگی بذر گیاه کدو تخم‌کاغذی (Ghahremani et al., 2017) و تاثیر منفی آن بر جوانه‌زنی انجام شده است که نشان می‌دهد در اثر شرایط نامساعد محیطی جوانه‌زنی و رشد گیاهچه کاهش می‌یابند. مرحله جوانه‌زنی گیاهچه از مراحل حساس و مهمی است که با استقرار مطلوب گیاهچه‌ها در فرایند تولید، نقش مهمی را ایفا می‌کند (Joodi and Sharifzade, 2009). بروز تنفس شوری و خشکی در مرحله جوانه‌زنی بسیار آسیب‌زا می‌باشد (Riazi and Sharifzade, 2009). گفته شده است تنفس خشکی جوانه‌زنی را به تاخیر می‌اندازد (Hardegree and Hardge, 1990). کریم‌زاده حسینیان و همکاران (Karimzadeh Hoseinian et al., 2013) کاهش ساختارهای جوانه‌زنی گیاه کدو در اثر تنفس خشکی را گزارش کردند. باید اذعان شود که کیفیت بذر از جمله عوامل تاثیرگذار بر ویژگی‌های جوانه‌زنی بذر و سبز شدن آن می‌باشد. فرسودگی بذر پدیدهای فیزیولوژیک است که پس از رسیدگی فیزیولوژیک بذر و در دوره پس از برداشت در شرایط بالابودن دما، رطوبت و فشار اکسیژن محیط نگهداری بذر، به تدریج آغاز می‌شود و موجب تخریب RNA و DNA ریبوزومی، افزایش فعالیت آنزیم‌های تنفسی و نفوذپذیری غشای سلولی می‌شود. این عوامل منجر به کاهش قوه نامیه و بنیه بذر و گیاهچه و در نهایت عملکرد محصول می‌شوند (Hampton, 2003). پیش-

مواد و روش‌ها

این آزمایش در سال ۱۳۹۷ در آزمایشگاه علوم و تکنولوژی بذر دانشکده علوم کشاورزی دانشگاه محقق اردبیلی به صورت فاکتوریل سه عامله در قالب طرح کاملاً تصادفی با ۴ تکرار انجام شد. تیمارها شامل سطوح مختلف فرسودگی (شاهد، ۸۵ درصد و ۷۵ درصد جوانه‌زنی شاهد) و تنفس خشکی (شاهد، ۰/۷۵ و ۱/۵ مگاپاسکال) و همچنین پایمینگ (شاهد، هیدروپایمینگ، هورمون

بین ۱۰ و ۹۰ درصد جوانهزنی است که از رابطه زیر به-
دست می‌آید (Fazel *et al.*, 2014).

$$(رابطه ۴) \quad GU=1/n$$

در این رابطه GU، یکنواختی جوانهزنی و n تعداد بذرهای جوانهزده می‌باشد. برای بررسی رشد گیاهچه در پایان روز هشتم کشت و پس از بازشدن کامل برگ‌های لپه‌ای، ده گیاهچه نرمال از هر تیمار انتخاب و صفات مود نیاز اندازه‌گیری شدند. برای بهدست آوردن وزن خشک ساقه‌چه و ریشه‌چه، پس از پیچیده شدن در فویل آلومینیومی به آون با دمای ۸۰ درجه سلسیوس بهمدت ۲۴ ساعت منتقل شدند و وزن خشک بر حسب میلی‌گرم با استفاده از ترازوی دیجیتال با دقت یک گرم از برگ جدا و آمد. برای اندازه‌گیری میزان رنگدانه‌های فتوستنتزی، ۱۴ روز پس از شروع جوانهزنی، مقدار یک گرم از برگ جدا و بهمراه ۱۵ cc استون در هاون چینی سائیده شد. پس از عبور از کاغذ صاف و قیف، میزان جذب نور محلول با دستگاه اسپکتروفتومتر در طول موج‌های ۶۴۵ و ۶۵۲ نانومتر خوانده شد. نتایج حاصل از رنگیزه‌های گیاه بر حسب میلی‌گرم وزن تر گزارش شد. با استفاده از روابط زیر میزان کلروفیل a و کلروفیل b بر حسب میلی‌گرم وزن تر بافت تعیین شد (Bruisma, 1963).

$$(رابطه ۵) \quad Chl\ a = (0.0131) - (0.0029) (A663) - (A645)$$

$$(رابطه ۶) \quad Chl\ b = (0.0237) - (0.004593) (A652) - (A645)$$

شدت فتوستنتر خالص و هدایت روزنده‌ای در پایان دوره اعمال تیمارها (روز ۱۷ ام پس از جوانهزنی) با استفاده از دستگاه تبادلات گازی مادون قرمز قبل حمل ADC (فتوستنتر پرتاپل) مدل LCi ساخت شرکت Biosledgeledge Ltd. انگلستان بر روی جوانترین برگی که به طور کامل گسترش یافته بود، سنجش شد. اندازه‌گیری‌ها از ساعت ۹ صبح تا ۱۲ ظهر و ۵ ثانیه پس از قراردادن برگ در داخل محفظه شیشه‌ای دستگاه اعداد ثبت گردید (Bastam *et al.*, 2013).

برای اندازه‌گیری محتوای قندها از روش دوبویس و همکاران (Dubios *et al.*, 1956) استفاده شد. در این روش ۰/۱ گرم نمونه برگی با الکل ۷۰ درصد به حجم ۱۵ میلی‌لیتر رسانده شد و مخلوط حاصل یک هفته در یخچال نگهداری و روزانه هم زده شد. پس از یک هفته ۲ میلی‌لیتر از نمونه با یک میلی‌لیتر فتل ۵ درصد به‌خوبی مخلوط شد. سپس ۵ میلی‌لیتر اسید سولفوریک غلیظ

پرایمینگ با جیبرلین، پرایمینگ با Gr24، هورمون-پرایمینگ با بنزیل آمینوپورین و پرایمینگ با اسپرمیدین) بودند. بدور بهمنظور اعمال پرایمینگ بهمدت ۲۴ ساعت در غلظت ۱۰۰ میکرومولار تیمارهای پرایمینگ خیسانده شدند. بذرها از شرکت پاکان بذر خریداری شدند و قوه نامیه آن‌ها ۹۰ درصد بود.

جهت ایجاد فرسودگی (پیری زودرس) توده‌های بذری در داخل آون با دمای ۴۰ درجه سلسیوس و رطوبت ۱۰۰ درصد بهمدت ۵ و ۱۰ روز، قرار گرفتند، تا به درجات فرسودگی ۸۵ درصد و ۷۵ درصد برسند (Delouche and Baskin, 1973). برای تهیه محلول‌های خشکی از پلی‌اتیلن‌گلایکول ۶۰۰۰ استفاده گردید. بهمنظور ایجاد پتانسیل اسمزی مورد نظر جهت اعمال تنفس خشکی از Michel and Kaufman, 1973

$$\Psi_S = -(1.18 \times 10^{-2})C - (1.18 \times 10^{-4})C^2 + (2.67 \times 10^{-4})CT + (8.39 \times 10^{-7})C^2T \quad (\text{رابطه ۱})$$

در این رابطه Ψ_S معادل فشار اسمزی بر حسب بار (Bar)، C غلظت پلی‌اتیلن‌گلایکول ۶۰۰۰ بر حسب گرم بر کیلوگرم آب (g/kg H₂O) و همچنین T درجه حرارت بر حسب سلسیوس (C) می‌باشد. برای انجام آزمون جوانهزنی استاندارد، تعداد ۲۵ بذر از هر تیمار درون ظروف یکبار مصرف کشت شد. ظروف به درون ژرمیناتور مدل IKH.RI تنظیم شده با دمای ۲۵ درجه سلسیوس و نور ۸ ساعت روشنایی منتقل شدند. شمارش بدور جوانه-زده به صورت روزانه و بهمدت ۸ روز انجام گردید. معیار جوانهزنی یک بذر، رشد ریشه‌چه و خروج آن بهمیزان ۲ میلی‌متر از پوسته بذر در نظر گرفته شد (ISTA, 2007). درصد جوانهزنی بر اساس رابطه زیر بهدست آمد (ISTA, 2002).

$$GP = 100 \times (niti/s) \quad (\text{رابطه ۲})$$

در این رابطه GP درصد جوانهزنی، ni بذرهای جوانه-زده در زمان ti و S تعداد کل بذر می‌باشد. سرعت جوانه-زنی بر اساس رابطه زیر بهدست آمد (ISTA, 2002).

$$GR = \Sigma ni/ti \quad (\text{رابطه ۳})$$

در این رابطه GR سرعت جوانهزنی، ti تعداد روزهای پس از جوانهزنی و Σn تعداد کل بذرهای جوانهزده در دوره آزمون می‌باشد یکنواختی جوانهزنی، مدت زمان لازم

نتایج

درصد جوانهزنی: مطابق جدول تجزیه واریانس (جدول ۱) اثر سطوح مختلف خشکی، فرسودگی و پرایمینگ و نیز اثرات متقابل آن‌ها بر درصد جوانهزنی در سطح احتمال یک درصد معنی‌دار بود. با افزایش شدت تنش خشکی همچنین مدت زمان قرارگرفتن بذور در دما و رطوبت بالا، درصد جوانهزنی بذور کاهش یافت، به‌طوری‌که نتایج حاصل از جدول ۲ نشان داد که کمترین درصد جوانهزنی (۴۳/۶ درصد) مربوط به تیمار خشکی با شدت ۱/۵-۱/۶ (مگاپاسکال و با درجه فرسودگی ۷۵ درصد در شرایط بدون پرایمینگ بود. همچنین، شرایط تنش خشکی بیش از فرسودگی بذر، منجر به کاهش درصد جوانهزنی بذور گردید. تنش خشکی و فقدان آب در خاک درصد جوانهزنی و میانگین سرعت جوانهزنی را کاهش می‌دهد زیرا کاهش جذب آب منجر به کندشدن متابولیسم در بافت‌های جنینی گردیده در نتیجه ظهور و توان گیاهچه کاهش می‌یابد (Larcher, 2001). دلایل متعدد بیوشیمیایی و متابولیک برای کاهش توان جوانهزنی بذرهای فرسوده عنوان شده است که از آن جمله می‌توان به پراکسیداسیون چربی‌ها، خسارت به غشای سلولی، آسیب به فرایند سنتز RNA، تخریب DNA، همچنین رسوب و غیرفعال شدن آنزیم‌ها اشاره کرد (Basra *et al.*, 2003).

این در حالی بود که پرایمینگ بذور با اسپرمیدین و جیبریلین، بنزیل آمینوپورین و Gr24 منجر به افزایش درصد جوانهزنی در شرایط عادی و تنش شده و خسارت ناشی از تنش‌ها را جبران نمود، به‌طوری‌که بیشترین درصد جوانهزنی (۹۸/۰٪) در تیمار پرایمینگ با هورمون جیبریلین در شرایط عدم تنش خشکی و فرسودگی به‌دست آمد. کاربرد هورمون جیبریلین به‌صورت پرایمینگ می‌تواند به حفظ یکپارچگی غشا و کاهش نفوذپذیری آن در طی تنش خشکی کمک کند و در نتیجه با افزایش فعالیت آنزیم‌های لیپاز و پروتئاز منجر به آزادسازی مواد ذخیره‌ای و تبدیل آن‌ها به مواد قابل انتقال ساکاروز و گلوکز و بهبود قدرت و ساخت جوانهزنی گردد (Mohamed *et al.*, 2010). توکل افشاری و همکاران (Tavakol Afshari *et al.*, 2009) کاهش قدرت بذر به‌علت کاهش سنتز، تخریب و فساد پروتئین‌های سلولی و افزایش هدایت الکتریکی و نشت-

روی آن افزوده، نیم ساعت بعد جذب محلول‌ها در طول موج ۴۸۵ نانومتر قرائت گردید.

برای اندازه‌گیری چربی، از پرکولاسیون سوکسله استفاده شد (Yaniv *et al.*, 1999). برای این منظور، ابتدا دو هفته پس از شروع جوانهزنی نمونه بذری در دمای ۷۰ درجه سلسیوس به‌مدت ۲۴ ساعت در داخل آون قرار گرفت. بعد از اندازه‌گیری وزن بالن سوکسله (خالی) مقدار ۲۲۰ میلی‌لیتر حلال شامل ۲ قسمت متابولول به‌اضافه ۱ قسمت کلروفورم به‌داخل آن ریخته شد. سپس ۵ گرم از نمونه به‌صورت پودری درآورده شده پس از قرارگرفتن در کارتوش داخل لوله استخراج قرار گرفت. دستگاه پس از تنظیم جریان آب به‌مدت ۴/۵ ساعت بر روی منبع حرارتی قرار گرفت. پس از طی زمان مذکور چربی طی فرآیند تقطیر به‌صورت ماده‌ای غلیظ و سبز رنگ در بالن باقی ماند. بالن همراه با چربی توزین و با استفاده از فرمول زیر درصد هر کدام از نمونه‌ها محاسبه گردید:

$$\text{Lipid content (\%)} = \frac{(A-a)}{B} \times 100 \quad (رابطه ۷)$$

در این رابطه، (٪) Lipid content درصد چربی، A وزن بالن به‌همراه چربی، a وزن بالن خالی و B وزن نمونه مورد آزمایش است.

فعالیت آنزیم آلفاامیلاز اواسط دوره جوانهزنی و مطابق (Doman *et al.*, 1982) روش دومان و همکاران (PH=۸/۶) مشخص شد. بذرهای در بافر ۶۰ میلی‌لیتر هموژنیزه شدند و سپس در ۱۲۰۰۰ g و به‌مدت ۱۵ دقیقه سانتریفوژ شدند. فعالیت آنزیم در محیط واکنش که حاوی ۶۰ میلی‌مولار بافر فسفات (PH=۸/۶)، ۴۰۰ میکروگرم بر میلی‌لیتر کلسیم کلراید و ۵۰۰ میکروگرم بر میلی‌لیتر نشاسته بود، مشخص شد. عصاره آنزیمی (یک میلی‌لیتر) پس از ۲۰ دقیقه آنکوباسیون در حمام آب گرم به محیط آزمایش اضافه شد. فعالیت آنزیم آلفاامیلاز با استفاده از نشاسته و با طول موج ۶۲۰ نانومتر به‌صورت میکروگرم نشاسته بر گرم در دقیقه بافت تازه مشخص شد. تجزیه-های آماری به‌کمک نرمافزار SAS انجام و شکل‌ها به‌کمک نرمافزار Excel کشیده شدند. مقایسه میانگین تیمارها بر اساس آزمون حداقل تفاوت معنی‌دار در سطح احتمال P=0.05 صورت گرفت.

باعث ترمیم بذرها و افزایش قدرت آن می‌شود.

جدول ۱- جدول تجزیه واریانس تاثیر تنفس خشکی و فرسودگی بذر بر شاخص‌های جوانهزنی کدو پوست کاغذی

Table 1. Analysis of variance for the effect of drought stress and seed deterioration on Germination traits of Pumpkin.

منابع تغییرات S.O.V	درجه آزادی df	میانگین مربعات MS				
		درصد جوانهزنی Germination Percentage	سرعت جوانهزنی Germination rate	جذب یکنواختی جوانهزنی Germination uniformity	وزن خشک ساقه‌چه Radical dry weight	وزن خشک ریشه‌چه Plumule dry weight
خشکی (D)	2	22015**	565.7**	37.5**	0.0001**	0.0003***
پرایمینگ (P)	5	437.4**	16.9**	2.11**	0.00001**	0.000006***
Ageing (A)	2	5413**	269.2**	28.6**	0.0005**	0.0005**
D×P	10	29.9**	0.23**	0.07**	0.0000001ns	0.0000002**
D×A	4	2.07**	3.42**	0.65**	0.00001**	0.000005**
P×A	10	0.62**	0.19**	0.07**	0.0000004*	0.00000003ns
D×A×P	20	1.14**	0.24**	0.031*	0.0000002ns	0.00000008ns
خطا	108	0.12	0.002	0.014	0.0000001	0.00000005
CV (%) درصد ضریب تغییرات		0.54	0.58	4.3	2.5	1.63

ns به ترتیب معنی‌داری در سطح احتمال ۱ درصد و غیرمعنی‌داری را نشان می‌دهند.

**, *and ns., significant at 1%, 5% and not significant probability levels, respectively

فعالیت‌های متابولیک جوانهزنی در داخل بذر به‌آرامی صورت گرفته در نتیجه مدت زمان خروج ریشه‌چه از بذر افزایش می‌یابد، بنابراین سرعت جوانهزنی کاهش می‌یابد. همچنین بیشترین سرعت جوانهزنی (۱۵/۵۶ بذر در روز) در تیمار پرایمینگ با هورمون جیبریلین در شرایط عدم تنفس خشکی و فرسودگی بهدست آمد. در آزمایش مشابه، اثر اسید جیبریلیک را بر درصد ظهور گیاهچه و عملکرد نخود تحت شرایط تنفس موجب بهبود این صفات گردید (Shariatmadari *et al.*, 2017) بالاودن سرعت جوانهزنی در خصوص آزادسازی آنزیم‌های تجزیه‌کننده قند و پروتئین در داخل بذر باشد. نتایج سایر پژوهش‌ها نشان داد که سرعت جوانهزنی در اثر هیدروپرایمینگ (Khalaki *et al.*, 2019) و اسپرمیدین (Sheteiwy *et al.*, 2017) افزایش یافت آن‌ها بیان کردند که افزایش توانایی سیستم دفاع آنتی‌اکسیدانت موجب بهبود سرعت جوانهزنی می‌شود.

یکنواختی جوانهزنی: طبق جدول تجزیه واریانس (جدول ۱) اثر سطوح مختلف خشکی، فرسودگی و پرایمینگ و نیز اثرات متقابل آن‌ها بر میزان تغییرات سرعت جوانهزنی در سطح احتمال یک درصد معنی‌دار بود. با کاهش میزان رطوبت لازم جهت جوانهزنی بذور کدو پوست کاغذی و فرسوده شدن بذور از سرعت جوانهزنی آن‌ها کاسته شد. به طوری که بذور تحت تنفس خشکی و فرسودگی ۸۳/۵۸ درصد کاهش در میزان سرعت جوانهزنی را نسبت به شاهد نشان دادند. نتایج حاصل از جدول مقایسه میانگین (جدول ۲) نشان داد کمترین میزان سرعت جوانهزنی (۲/۱۱ بذر در روز) مربوط به تیمار خشکی با شدت ۱/۵ مگاپاسکال و با درجه فرسودگی ۷۵ درصد بود. رستگار و همکاران (Rastegar *et al.*, 2011) در تحقیقی بر روی بذور سویا اظهار داشتند با افزایش درجه فرسودگی بذور، سرعت جوانهزنی کاهش می‌یابد. در اثر فرسودگی، بذر برای بهبود خسارت‌های واردشده به غشا و دیگر قسمت‌های سلول، همچنین مقابله با تنفس اکسیدانتیو به کمک سیستم آنتی‌اکسیدانت نیاز به زمان دارد و جبران این خسارت‌ها فقط پس از جذب آب توسط بذر امکان‌پذیر است، بنابراین مدت زمان لازم برای تکمیل فرایند جوانهزنی بذرهای فرسوده افزایش می‌یابد که نتیجه آن کاهش سرعت جوانهزنی است (Goel *et al.*, 2003). در شرایط خشکی نیز بهعلت این‌که جذب آب توسط بذر دچار اختلال گردیده و یا جذب به‌آرامی صورت می‌گیرد،

سرعت جوانهزنی: طبق جدول تجزیه واریانس (جدول ۱) اثر سطوح مختلف خشکی، فرسودگی و پرایمینگ و نیز اثرات متقابل آن‌ها بر میزان تغییرات سرعت جوانهزنی در سطح احتمال یک درصد معنی‌دار بود. با کاهش میزان رطوبت لازم جهت جوانهزنی بذور کدو پوست کاغذی و فرسوده شدن بذور از سرعت جوانهزنی آن‌ها کاسته شد. به طوری که بذور تحت تنفس خشکی و فرسودگی ۸۳/۵۸ درصد کاهش در میزان سرعت جوانهزنی را نسبت به شاهد نشان دادند. نتایج حاصل از جدول مقایسه میانگین (جدول ۲) نشان داد کمترین میزان سرعت جوانهزنی (۲/۱۱ بذر در روز) مربوط به تیمار خشکی با شدت ۱/۵ مگاپاسکال و با درجه فرسودگی ۷۵ درصد بود. رستگار و همکاران (Rastegar *et al.*, 2011) در تحقیقی بر روی بذور سویا اظهار داشتند با افزایش درجه فرسودگی بذور، سرعت جوانهزنی کاهش می‌یابد. در اثر فرسودگی، بذر برای بهبود خسارت‌های واردشده به غشا و دیگر قسمت‌های سلول، همچنین مقابله با تنفس اکسیدانتیو به کمک سیستم آنتی‌اکسیدانت نیاز به زمان دارد و جبران این خسارت‌ها فقط پس از جذب آب توسط بذر امکان‌پذیر است، بنابراین مدت زمان لازم برای تکمیل فرایند جوانهزنی بذرهای فرسوده افزایش می‌یابد که نتیجه آن کاهش سرعت جوانهزنی است (Goel *et al.*, 2003). در شرایط خشکی نیز بهعلت این‌که جذب آب توسط بذر دچار اختلال گردیده و یا جذب به‌آرامی صورت می‌گیرد،

جدول ۲- جدول مقایسه میانگین صفات جوانه‌زنی و فیزیولوژیک کدو پوست کاغذی تحت تنش خشکی و فرسودگی بذر
Table 2. Means of germination and physiological traits of Pumpkin affected by Drought stress and seed aging

خشکی Drought	پرایمینگ Priming	درصد Ageing on Percentag e	جوانه‌زنی Germinati on rate	سرعت جوانه‌زنی Germinati on rate	یکنواختی جوانه‌زنی Germinati on uniformity	محتوای کلروفیل Chlorophyll a/(mg.g ⁻¹ FW)	محتوای کلروفیل Chlorophyll b/(mg.g ⁻¹ FW)	مربوط به Carbohyd rat(µmCo ₂ .m ⁻² .s ⁻¹)	فتوسنتز Photosynth esis(µMCO ₂ .m ⁻² .DW)	محتوای قندهای میکرومول دی- Seed lipid percentage	فعالیت آلفا-امیلار(میکرو گرم در گرم در نشاسته بر گرم در دقنه بافت تر)
خشکی Drought	هیدروپرایمینگ Hydro-Priming	0	92.3±0.2 ^c	13.1±0.2 ^f	1.4±0.02 ^{yw}	0.76±0.02 ^c	2.44±0.05 ^y	5.7±0.03 ^c	761.8±3.6 ^{ab}	18.2±0.09 ^a	66.2±0.3 ^a
		85%	83.4±0.2 ^c	9.9±0.01 ^o	1.90±0.02 ^{y-w}	0.65±0.03 ^{hi}	2.53±0.08 ^{uv}	4.6±0.04 ^p	539.3±1.9 ^{hi}	16.8±0.05 ^{hi}	49.8±0.3 ^b
		75%	71.5±0.1 ^w	8.3±0.02 ^t	2.6±0.03 ^{k-m}	0.59±0.02 ^p	2.61±0.05 st	2.9±0.54 ^w	354.3±2.1 ^k	12.6±0.03 ^u	33.5±0.3 ^v
		0	94.4±0.1 ^d	13.6±0.1 ^c	1.35±0.03 ^{yz}	0.75±0.01 ^c	2.47±0.06 ^{xy}	5.7±0.02 ^a	797.9±2.3 ^{ab}	18.3±0.05 ^a	66.2±0.3 ^a
		85%	84.4±0.1 ^k	10.2±0.02 ^m	1.88±0.01 ^{y-w}	0.69±0.01 ^{ef}	2.43±0.04 ^u	4.7±0.04 ^f	742.0±3.4 ^{lg}	16.9±0.03 ^{g-i}	54.5±0.2 ^k
	پرایمینگ Giberline	75%	75.1±0.1 ^l	8.7±0.02 ^s	2.51±0.03 ^{lo}	0.64±0.02 ^{bj}	2.45±0.04 ^{rl}	3.6±0.02 ^q	513.1±3.6 ^k	13.1±0.09 ^{pq}	39.6±0.4 ^v
		0	98.0±2 ^a	15.6±0.02 ^a	0.97±0.02 ^z	0.78±0.01 ^{bc}	2.41±0.01 ^{wx}	5.7±0.02 ^b	788.8±1.4 ^{ab}	18.3±0.05 ^a	66.4±0.2 ^a
		85%	85.9±0.2 ^e	12.2±0.01 ^g	1.53±0.01 ^{yz}	0.71±0.02 ^{de}	2.48±0.08 ^u	4.9±0.02 ⁱ	707.0±4.6 ^{dc}	17.1±0.09 ^{eg}	62.1±0.2 ^d
		75%	78.3±0.2 ^h	10.8±0.01 ^k	1.96±0.02 ^{uw}	0.66±0.02 ^{gh}	2.53±0.04 ^{qr}	3.9±0.14 ^s	483.3±4.2 ^h	13.1±0.07 ^{mn}	46.4±0.5 ^q
		0	95.9±0.3 ^e	14.4±0.02 ^c	1.24±0.02 ^{yz}	0.75±0.01 ^c	2.46±0.03 ^{vw}	5.7±0.02 ^e	776.4±2.1 ^{ab}	18.4±0.04 ^a	66.3±0.1 ^a
Non-Drought	پرایمینگ BanzylAminop urine	85%	87.6±0.2 ^c	11.3±0.02 ^j	1.77±0.04 ^{yz}	0.69±0.01 ^g	2.51±0.01 st	4.6±0.03 ^k	651.6±0.9 ^{ef}	17.1±0.03 ^{hi}	52.4±0.2 ^l
		75%	77.2±0.1 ^g	9.6±0.02 ^p	2.10±0.03 ^{su}	0.63±0.01 ^{lj}	2.57±0.05 ^p	3.7±0.62 ^t	447.8±3.1 ^{ij}	13.2±0.07 ^{n-p}	36.2±0.2 ^v
		0	95.1±0.2 ^d	14.1±0.14 ^d	1.31±0.03 ^{yz}	0.79±0.01 ^b	2.36±0.00 ^u	5.8±0.02 ^{cd}	772.7±2.8 ^{ab}	18.5±0.14 ^a	66.3±0.1 ^a
		85%	85.1±0.2 ^g	10.5±0.03 ^l	1.72±0.14 ^{yz}	0.73±0.02 ^d	2.46±0.01 ^{rs}	5.3±0.04 ^g	621.9±2.6 ^d	17.3±0.04 ^c	61.2±0.4 ^c
		75%	75.7±0.1 ^s	9.1±0.04 ^r	2.31±0.06 ^{rf}	0.68±0.02 ^{fg}	2.56±0.05 ^{k-m}	4.2±0.03 ^u	412.0±1.5 ^c	13.3±0.09 ^{kl}	44.1±0.2 ^t
	پرایمینگ Spermidin	0	97.3±0.2 ^b	15.3±0.03 ^b	1.04±0.07 ^z	0.82±0.02 ^a	2.28±0.04 ^{rl}	5.8±0.03 ^d	768.2±3.0 ^a	18.6±0.03 ^a	66.2±0.3 ^a
		85%	86.5±0.1 ^h	12±0.06 ^h	1.68±0.04 ^{yz}	0.76±0.02 ^c	2.39±0.02 ^{pg}	5.6±0.03 ⁿ	572.7±1.5 ^{bc}	17.3±0.03 ^{ab}	57.6±0.1 ^h
		75%	76.4±0.1 ^l	10.2±0.08 ^m	2.04±0.04 ^{lv}	0.71±0.02 ^{dc}	2.53±0.06 ^{jk}	4.5±0.04 ^v	382.0±2.4 ^d	13.5±0.06 ^j	41.8±0.4 ^w
		0	80.6±0.3 ⁿ	8.3±0.02 ^t	2.25±0.02 ^{pl}	0.59±0.02 ^{np}	2.23±0.03 ^u	4.9±0.02 ^l	1190.7±4.0 ^{op}	19.8±0.07 ^{fg}	57.8±0.3 ^h
		85%	74.3±0.2 ^o	6.9±0.03 ^y	3.06±0.06 ^{gh}	0.56±0.01 ^{qr}	2.07±0.02 ^{rl}	3.6±0.04 ^w	862.6±3.9 ^s	18.5±0.04 ^{o-q}	40.4±0.1 ^x
-0.75 MP	هیدروپرایمینگ Hydro-Priming	75%	60.5±0.2 ^z	4.4±0.02 ^z	3.99±0.04 ^d	0.520±0.01 ^w	1.67±0.02 ^{op}	2.3±0.03 ^o	496.4±2.6 ^y	14.6±0.07 ^{wx}	23.1±0.2 ^z
		0	82.3±0.4 ^g	8.7±0.03 ^s	2.12±0.03 ^{ru}	0.62±0.01 ^{lm}	2.18±0.00 st	5.1±0.07 ^f	1415.7±4.0 ^p	19.9±0.06 ^{de}	61.3±0.2 ^e
		85%	75.3±0.2 st	7.2±0.02 ^x	2.86±0.05 ^{bj}	0.60±0.01 ^{mo}	2.04±0.01 ^{prq}	4.1±0.03 ^p	997.6±3.8 ^g	18.6±0.06 ^{lm}	44.7±0.4 ^s
		75%	61.2±0.3 ^z	4.6±0.01 ^z	3.91±0.19 ^d	0.54±0.02 ^{ow}	1.70±0.01 ^{ln}	2.7±0.04 ^q	821.5±4.4 ^w	14.7±0.12 ^v	26.1±0.2 ^z
		0	86.1±0.6 ^h	11.6±0.03 ^l	1.67±0.04 ^{yz}	0.63±0.01 ^{lj}	2.21±0.00 ^{ri}	5.3±0.06 ^g	1379.7±2.3 ^{mn}	20.1±0.11 ^{cd}	66.3±0.2 ^a
	پرایمینگ Giberline	85%	79.9±0.5 ^g	8.1±0.02 ^u	2.19±0.04 ^q	0.61±0.02 ^{kn}	2.06±0.02 ^{no}	4.3±0.04 ^r	961.3±2.9 ^q	18.8±0.12 ^{jk}	54.6±0.4 ^k
		75%	71.3±0.2 ^{wx}	6.1±0.04 ^{yz}	2.99±0.13 ^{gh}	0.55±0.02 ^{su}	1.71±0.01 ^{ij}	3.1±0.12 ^e	762.5±2.8 ^{uv}	14.8±0.04 ^{tu}	37.1±0.3 ^y
		0	85.1±0.5 ^{jl}	10.1±0.04 ⁿ	1.87±0.06 ^{yv}	0.61±0.01 ^{ln}	2.23±0.00 ^{prp}	5.1±0.11 ^h	1341.3±3.8 ^{np}	20.1±0.05 ^{cf}	58.9±0.2 ^g
		85%	78.2±0.1 ^p	7.6±0.03 ^x	2.43±0.02 ^{mp}	0.58±0.02 ^{er}	2.09±0.02 ^{kl}	3.8±0.04 ^s	947.9±3.3 ^r	18.9±0.08 ^{n-p}	42.7±0.1 ^v
		75%	64.9±0.1 ^z	5.1±0.03 ^z	3.45±0.06 ^f	0.52±0.01 ^{rw}	1.73±0.02 ^{fr}	2.5±0.03 ^h	719.2±2.1 ^{vx}	15.3±0.12 ^{vww}	23.5±0.3 ^z
-1.5 MP	پرایمینگ BanzylAminop urine	0	83.5±0.2 ^g	9.3±0.04 ^q	1.95±0.09 ^{uw}	0.64±0.02 ^{bj}	2.21±0.03 ^{mn}	5.5±0.06 ^g	1210.7±2.1 ^{lm}	20.1±0.18 ^{bc}	65.6±0.2 ^b
		85%	76.9±0.2 ^q	7.3±0.02 ^x	2.62±0.08 ^{k-m}	0.61±0.01 ^{rn}	2.15±0.05 ^{ij}	4.5±0.05 ^r	923.2±3.7 ^p	19.1±0.16 ^{ij}	51.4±0.2 ^m
		75%	63.1±0.5 ^z	4.9±0.04 ^{yz}	3.63±0.06 ^c	0.57±0.02 ^{ps}	1.76±0.08 ^{de}	3.2±0.07 ^l	643.8±1.3 ^t	15.3±0.23 st	33.6±0.3 ^y
		0	85.5±0.3 ^{jl}	10.6±0.03 ^l	1.73±0.05 ^{x-z}	0.65±0.02 ^{hi}	2.25±0.02 ^{kl}	5.7±0.06 ^l	1195.7±2.5 ^l	20.2±0.05 ^{ab}	63.4±0.1 ^c
		85%	79.5±0.2 ^o	7.8±0.03 ^w	2.26±0.05 ^{ps}	0.64±0.01 ^{lk}	2.15±0.02 ^{fh}	4.8±0.03 ^u	896.5±3.0 ^{m-o}	19.1±0.05 ^{gh}	48.2±0.2 ^p
	پرایمینگ Spermidin	75%	67.1±0.3 ^z	5.4±0.03 ^{xy}	3.14±0.02 ^g	0.59±0.01 ^{pr}	1.76±0.08 ^{bc}	3.4±0.04 ^q	547.7±3.8 ^t	15.5±0.07 ^{qr}	29.6±0.3 ^z
		0	70.8±1.1 ^s	6.3±0.02 ^{yz}	2.78±0.05 ^{ik}	0.54±0.01 ^{lw}	1.36±0.02 ^{qr}	3.5±0.05 ^e	1475.3±2.5 ^y	20.7±0.03 ^{qr}	45.6±0.2 ^r
		85%	58.6±0.2 ^z	4.6±0.02 ^{yz}	4.4±0.11 ^d	0.48±0.01 ^{xy}	1.18±0.06 ^{mn}	2.1±0.14 ^q	977.7±1.2 ^z	19.5±0.11 ^{xy}	26.8±0.2 ^z
		75%	43.6±0.1 ^z	2.1±0.02 ^z	4.87±0.05 ^a	0.40±0.01 ^{zr}	0.99±0.09 ^{hi}	0.7±0.07 ^r	686.5±2.0 ^r	15.7±0.08 ^z	12.3±0.4 ^z
		0	71.5±0.2 ^z	6.6±0.03 ^{wx}	2.67±0.04 ^{jk}	0.54±0.02 ^{ly}	1.55±0.05 ^{op}	3.9±0.04 ^a	1561.3±2.5 ^y	20.8±0.08 ^{po}	52.4±0.4 ^l
-1.5 MP	هیدروپرایمینگ Hydro-Priming	85%	60.0±0.1 ^z	4.4±0.03 ^{yz}	3.62±0.04 ^c	0.49±0.02 ^x	1.23±0.07 ^{ji}	2.5±0.04 ^r	1291.7±2.4 ^y	19.6±0.03 ^{vww}	33.6±0.1 ^y
		75%	44.1±0.2 ^z	2.4±0.03 ^z	4.64±0.05 ^b	0.41±0.02 ^z	1.07±0.03 ^{ef}	1.2±0.06 ^v	879.2±3.6 ^z	16.1±0.05 ^z	17.9±0.2 ^z
		0	78.1±0.3 ^{jl}	7.9±0.05 ^v	2.39±0.03 ^{npq}	0.56±0.01 ^{rt}	1.59±0.04 ^{mn}	4.2±0.04 ^b	1542.2±3.0 ^{wx}	21.1±0.02 ^{kl}	60.3±0.1 ^f
		85%	68.4±0.3 ^z	6.1±0.05 ^{wx}	2.71±0.58 ^{ik}	0.53±0.01 ^{uw}	1.16±0.04 ⁱ	2.9±0.03 ^j	1218.0±4.0 ^y	20.4±0.03 ^u	43.5±0.3 ^u
		75%	53.9±0.3 ^z	4.3±0.03 ^{yz}	3.83±0.04 ^d	0.44±0.01 ^{zr}	1.04±0.03 ^d	1.6±0.04 ^s	846.5±2.9 ^z	16.9±0.06 ^z	24.9±0.2 ^z
	پرایمینگ BanzylAminop urine	0	74.4±0.2 ^u	7.1±0.03 ^x	2.54±0.05 ^{ln}	0.54±0.02 ^{lw}	1.41±0.27 ^{jl}	3.6±0.02 ^b	1537.8±4.2 ^y	20.9±0.06 ^{pg}	48.8±0.4 ^g
		85%	62.8±0.3 ^z	5.4±0.04 ^{xy}	3.4±0.44 ^f	0.48±0.01 ^{xy}	1.21±0.08 ^{fg}	2.3±0.04 ^k	1144.0±2.6 ^z	20.3±0.04 ^{wx}	29.7±0.2 ^z
		75%	47.1±0.4 ^z	3.5±0.06 ^z	4.2±0.03 ^{cs}	0.41±0.01 ^z					

گزارش شده است (Sheidai *et al.*, 2016). در یک بررسی گزارش شد که پیری بذر سبب کاهش فعالیت پمپ پروتون غشای پلاسمایی می‌شود. کاهش فعالیت آنزیم ATP-ase ممکن است از طریق کاهش اسیدی-شندن دیواره سلولی و کاهش نیروی محرك لازم برای جذب فعال مواد اسمزی نظیر یون‌ها و قندها توسط سلول‌های در حال توسعه شده و در نتیجه فشار تورگر لازم جهت توسعه سلول را کم می‌کند (Sveinsdottir *et al.*, 2009). بهنظر می‌رسد فرسودگی از طریق کاهش کیفیت بذور، باعث صدمه به پارامترهای رشدی گیاهچه می‌شود. بیشترین میزان وزن خشک ریشه‌چه در ۰/۷۵ (۰/۱۸۳ گرم) در خشکی با شدت ۰-۰/۷۵ در شرایط عدم فرسودگی در تیمار پرایمینگ با هورمون جیبرلین به‌دست آمد (شکل ۲).

شکل ۲ نشان داد که پرایمینگ موجب افزایش میزان وزن خشک ریشه‌چه شد که در این میان جیبرلین و Gr24 نسبت به سایر پیش‌تیمارها نتایج بهتری نشان دادند، به‌طوری‌که بیشترین میزان وزن خشک ریشه‌چه در اثر هورمون‌پرایمینگ با جیبرلین (۰/۰۱۷ گرم) مشاهده شد. درحالی‌که عدم پرایمینگ کمترین میزان وزن خشک ریشه (۰/۰۱۲ گرم) را نشان داد. بر اساس شکل ۳ فرسودگی و افزایش شدت آن موجب کاهش وزن خشک ریشه گردید، به‌طوری‌که در شرایط فرسودگی ۷۵ درصد، کمترین میزان وزن خشک ریشه (۰/۰۶۹ گرم) قابل مشاهده بود. درحالی‌که کاربرد پرایمینگ‌های مختلف بهبود وزن خشک ریشه در شرایط نرمال و فرسودگی کمک کردند، به‌طوری‌که مشاهده شد در شرایط نرمال بیشترین میزان وزن خشک ریشه (۰/۰۱۷ گرم) به کاربرد جیبرلین تعلق گرفت. با این حال در شرایط فرسودگی شدید نیز کاربرد جیبرلین بیشتر از سایر تیمارها از کاهش وزن خشک ریشه در اثر فرسودگی جلوگیری کرد. علاوه بر این جهانبخشی و همکاران (Jahanbakhshi *et al.*, 2012) نیز در آزمایشی مشابه به کاهش اثرات سوء فرسودگی بر وزن خشک گیاهچه در اثر پیش‌تیمار بذور با جیبرلین اشاره کردند. بذرهای پیش‌تیمار شده سرعت و درصد جوانهزنی بالاتری نسبت به بذرهای شاهد داشتند، این امر موجب شد تا در یک زمان معین، سریع جوانه‌زدہ و ماده خشک بیشتری نسبت به بذور شاهد تولید کنند (Shekari *et al.*, 2010).

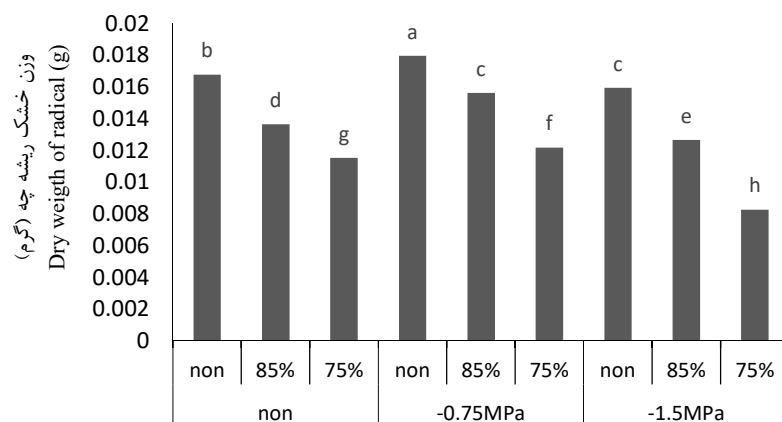
نتایج جدول تجزیه واریانس نشان داد که کمترین میزان یکنواختی جوانهزنی (۰/۹۷) توسط تیمار پرایمینگ با هورمون جیبرلین در شرایط عدم تنفس خشکی و فرسودگی به‌دست آمد. بیشترین یکنواختی جوانهزنی (۰/۸۷) در خشکی با شدت ۱/۵-۱ مگاپاسکال و درجه فرسودگی ۷۵ درصد در پرایمینگ شاهد به‌دست آمد.

در یکنواختی جوانهزنی هرچه عدد به‌دست آمده کمتر باشد، نشانگر یکنواختی بیشتر است (Soltani *et al.*, 2001). کمبود آب معمولاً عامل محدود کننده جوانهزنی بدور بوده و بر درصد، سرعت و یکنواختی ظهور تأثیر می‌گذارد (Yagmur and Kaydan, 2008) که توسط خلیلی اقدم (Khaliliaghdam, 2011) روی گیاه سویا صورت گرفت ایشان بیان داشتند با افزایش فرسودگی کاهش معنی‌داری در درصد و یکنواختی جوانهزنی روی می‌دهد. نتایج آزمایش نشان داد که درصد جوانهزنی، متوسط زمان جوانهزنی، و یکنواختی جوانهزنی در بدور پرایم شده گندم، یونجه، ذرت، برنج، بهطور معنی‌داری بهبود یافتند، که این امر نشان از تسريع جوانهزنی و افزایش بنیه بذر در اثر کاربرد تیمارهای پیش‌تیمار بذر دارد (Duman, 2006).

در آزمایش‌های مختلف تاثیر پرایمینگ‌های مختلف شامل Gr24 بر جوانهزنی بذرهای لوپن (Omoarelolie *et al.*, 2020) پرایمینگ بدور با هورمون جیبرلین (Sedghi *et al.*, 2010) هیدروپرایم (Riazi *et al.*, 2007) جوانهزنی بدور برنج در اثر پرایمینگ اسپرمیدین (Sheteiwy *et al.*, 2017) مشاهده شد.

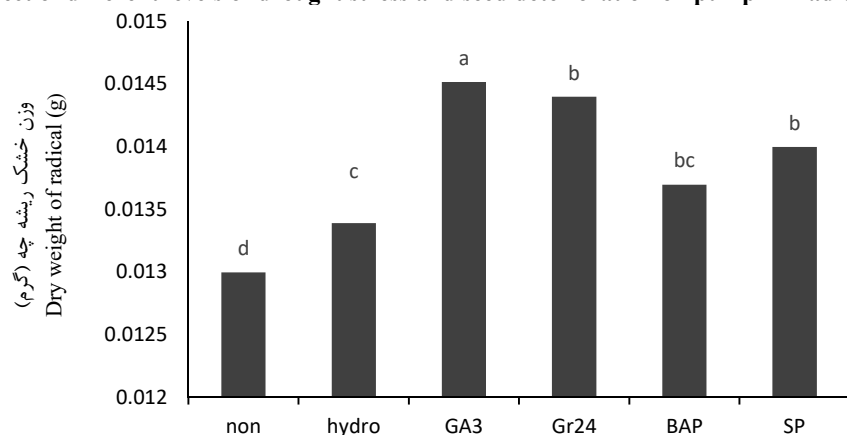
وزن خشک ریشه‌چه: با توجه به جدول تجزیه واریانس (جدول ۱) اثر متقابل خشکی و فرسودگی بر میزان تغییرات وزن خشک ریشه‌چه در سطح یک درصد معنی‌دار بود. همچنین اثر متقابل پرایمینگ در فرسودگی در سطح ۵ درصد معنی‌دار بود. با این وجود اثر متقابل پرایمینگ در خشکی همچنین اثر متقابل پرایمینگ در خشکی و فرسودگی معنی‌دار نبود.

مطابق نمودار مقایسه میانگین (شکل ۱) کمترین میزان وزن خشک ریشه‌چه (۰/۰۰۷ گرم) در خشکی با شدت ۱/۵-۱ مگاپاسکال و درجه فرسودگی ۷۵ درصد و در شرایط عدم پرایمینگ بود. کاهش معنی‌دار وزن خشک ریشه‌چه در بدور فرسوده در شرایط مختلف محیطی



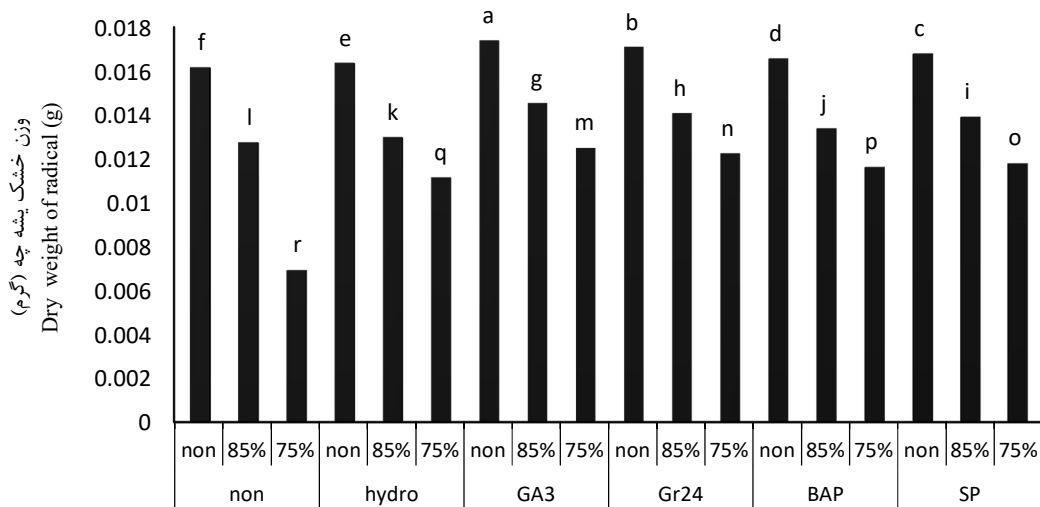
شکل ۱- اثر سطوح مختلف تنفس خشکی و فرسودگی بذر بر وزن خشک ریشه‌چه گیاه کدو پوست کاغذی

Figure 1. Effect of different levels of drought stress and seed deterioration on pumpkin radicle dry weight



شکل ۲- اثر تیمارهای مختلف پرایمینگ بر وزن خشک ریشه‌چه گیاه کدو پوست کاغذی

Figure 2. Effect of different priming treatments on pumpkin radicle dry weight



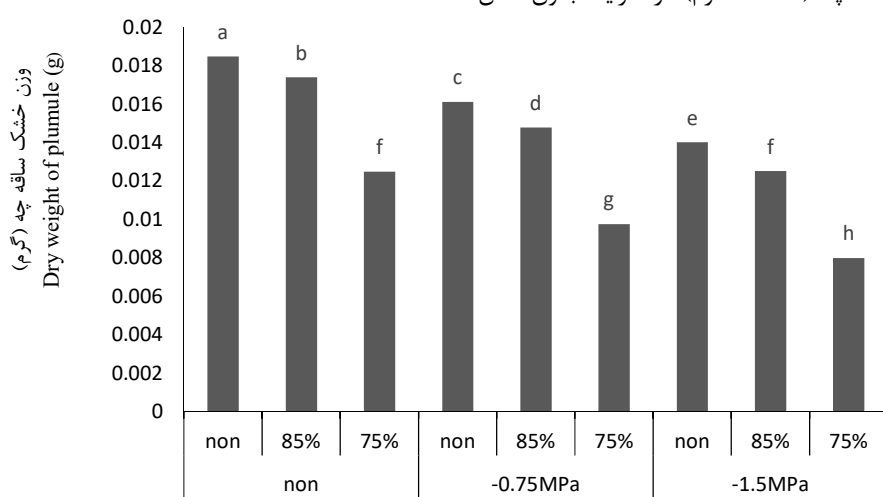
شکل ۳- اثر سطوح مختلف پرایمینگ و فرسودگی بذر بر وزن خشک ریشه‌چه گیاه کدو پوست کاغذی

Figure 3. Effect of different priming treatments and seed deterioration on pumpkin radicle dry weight

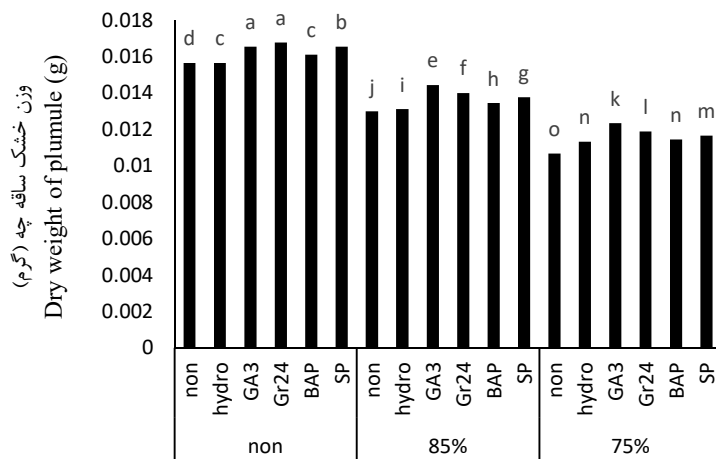
خشکی و در تیمار پرایمینگ با هورمون Gr24 به دست آمد (شکل ۵). Gr24 به عنوان یک استریگولاکتون سنتزی می‌تواند از طریق کاهش پراکسیداسیون لیپیدی و افزایش مواد اسمزی مانند پروولین به تحمل تنفس کمک کند (Omoarellojie *et al.*, 2020). سایر پرایمینگ‌ها نیز تأثیر مثبتی بر شاخص‌های جوانهزنی از جمله وزن خشک ساقه‌چه و یشه‌چه داشتند. نتایج برخی از پژوهشگران نشان داد که پرایمینگ بذر گیاهان مختلف با اسپرمیدین (Omoarellojie) (Gr24) (Sheteiwj jie *et al.*, 2017) و (Shekari *et al.*, 2010) موجب بهبود جوانهزنی و افزایش وزن خشک گردید.

شکاری و همکاران (Shekari *et al.*, 2010) گزارش کردند که هر چه بذرها دارای سرعت جوانهزنی بالاتری باشند، گیاهچه‌های حاصل طویل‌تر و وزن خشک بیشتری خواهند داشت و این امر موجب استقرار بهتر و تولید گیاهچه‌های قوی‌تری می‌شوند. نتایج پرایمینگ بذر در گیاه خربزه نشان داد که افزایش وزن خشک ریشه‌چه و ساقه‌چه با افزایش سطوح هیدروپرایمینگ می‌تواند ناشی از افزایش سنتز آنزیم‌های هیدرولیک و بهمراه آن افزایش میزان پویایی ذخایر بذر و افزایش راندمان تبدیل ذخایر پویا شده باشد (Sivritepe *et al.*, 2003).

وزن خشک ساقه‌چه: اثرات ساده سطوح مختلف خشکی، فرسودگی و پرایمینگ همچنین اثر متقابل سطوح خشکی در پرایمینگ و خشکی در فرسودگی بر میزان تغییرات وزن خشک ساقه‌چه در سطح یک درصد معنی‌دار بود (جدول ۱). نمودار مقایسه میانگین (شکل ۴) نشان می‌دهد که کمترین میزان وزن خشک ساقه‌چه (۰.۰۰۸۱ گرم) در خشکی با شدت ۱/۵ درجه فرسودگی در خشکی باشد و در شرایط عدم پرایمینگ درجه فرسودگی ۷۵ درصد و در شرایط عدم پرایمینگ خشکی کاهش می‌یابد (Pessarakli, 2002). سلطانی و همکاران (Soltani *et al.*, 2006) کاهش وزن خشک ساقه‌چه گیاهچه‌های حاصل از بذور فرسوده را کاهش کارایی استفاده از ذخایر دانسته‌اند. بهنظر می‌رسد کاهش وزن ساقه‌چه در پتانسیل‌های آب پایین، تحرک کم مواد غذایی و انتقال کمتر آن‌ها از لپه به محور جنبی باشد و یا این که گیاه انرژی خود را برای مقابله با آسیب‌های وارد شده توسط ROS‌ها به غشای سلولی، همچنین جلوگیری از پراکسیداسیون لیپیدی صرف کرده است. بنابراین در بذور فرسوده به زمان بیشتری برای تکمیل فرآیندها نیاز است و همین امر منجر به کاهش شاخص‌های جوانهزنی و رشد می‌گردد (Baily *et al.*, 2000). بیشترین میزان وزن خشک ساقه‌چه (۰.۰۱۶۷ گرم) در شرایط بدون تنش



شکل ۴- اثر سطوح مختلف تنش خشکی و فرسودگی بذر بر وزن خشک ساقه‌چه گیاه کدو پوست کاغذی
Figure 4. Effect of different levels of drought stress and seed deterioration on pumpkin plumule dry weight



شکل ۵- اثر تنفس خشکی و تیمارهای مختلف پرایمینگ بر وزن خشک ساقه چه گیاه کدو پوست کاغذی

Figure 5. Effect of drought stress and different priming treatments on pumpkin plumule dry weight

(جدول ۲) کمترین محتوای کلروفیل a (۰/۴۰۳ میلی گرم بر گرم وزن تر) در خشکی باشد ۱/۵ - مگاپاسکال و درجه فرسودگی ۷۵ درصد و در شرایط عدم پرایمینگ اندازه گیری شد. تنفس شوری و خشکی، به واسطه تولید رادیکال های آزاد اکسیژنی در تیلاکوئیدها، موجب کاهش غلظت کلروفیل ها و کاروتونوئیدهای بافت های گیاهی می شوند.

محتوای کلروفیل a: مطابق جدول تجزیه واریانس (جدول ۳) اثر سطوح مختلف خشکی، فرسودگی و پرایمینگ و نیز اثرات متقابل خشکی در فرسودگی همچنین تاثیر متقابل خشکی در فرسودگی در پرایمینگ بر میزان تغییرات کلروفیل a در سطح یک درصد معنی دار بود، اما اثر متقابل پرایمینگ در خشکی و پرایمینگ در فرسودگی معنی دار نبود. مطابق جدول مقایسه میانگین

جدول ۲- تجزیه واریانس تاثیر تنفس خشکی و فرسودگی بر بخش خصوصیات فیزیولوژیک کدو پوست کاغذی

Table 2. Analysis of variance for the effect of drought stress and seed deterioration on some physiological traits of Pumpkin

منابع تغییرات S.O.V	درجه آزادی df	میانگین مرتعات							
		محتوای کلروفیل a	محتوای کلروفیل b	نسبت کلروفیل a/b	فتوسنتز Chlorophyll a/b ratio	محول Photosynthesis Carbohydrat	نسبت کندهای Seed lipid	درصد چربی آلفا-امیلاز	فعالیت
Drought (D) خشکی	2	16.37**	0.6**	19.8**	64.5**	3894546**	52.4**	4767.2**	
Priming (P) پرایمینگ	5	0.101**	0.02**	0.007*	4.24**	143193**	3.61**	537.5**	
Ageing (A) فرسودگی	2	1.71**	0.17**	1.06**	74.72**	4367397**	436.5**	13280.7*	
D×P	10	0.0009ns	0.0004**	0.02**	0.08**	6754.1**	0.04**	12.6**	
D×A	4	0.102**	0.005**	0.65**	0.73**	184633**	6**	122.04**	
P×A	10	0.001ns	0.0003ns	0.003ns	0.14**	21457ns	0.32**	16.7**	
D×A×P	20	0.005**	0.0002ns	0.008*	0.07**	4121.6**	0.02**	7.2**	
Erorr	108	0.0006	0.0002	0.003	0.01	9.51	0.003	0.09	
CV (%) درصد ضریب تغییرات		2.06	2.35	2.92	3.29	0.33	0.35	0.66	

*, ** و ns به ترتیب معنی دار در سطح احتمال ۱ درصد، ۵ درصد و غیرمعنی داری را نشان می دهند.

**, * and ns., significant at 1%, 5% and not significant probability levels, respectively

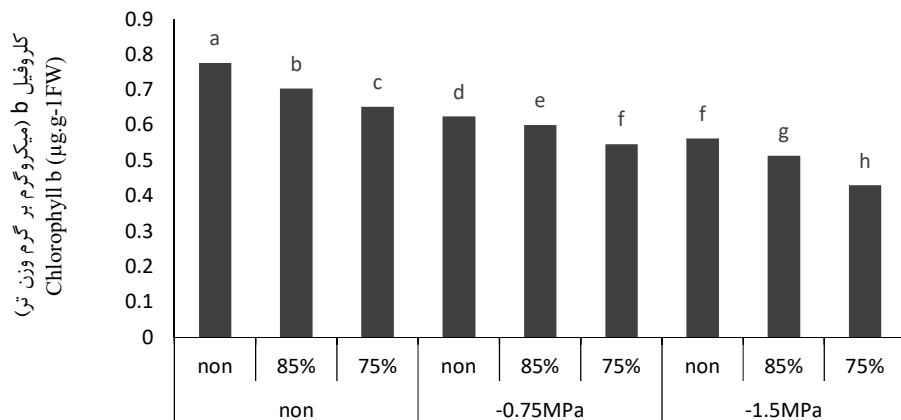
وزن تر) در شرایط عدم خشکی و فرسودگی و در پرایمینگ با اسپرمیدین به دست آمد. پلی آمین ها باعث کاهش تخریب کلروفیل می شوند که از طریق کاهش

این کاهش می تواند به دلیل بازدارندگی مراحل مختلف بیوسنتز کلروفیل باشد (Kato and Shimizu, 1985). بیشترین مقدار این کلروفیل (۱/۸۷۶ میلی گرم بر گرم

مقایسه میانگین (شکل ۶) در اثر افزایش شدت تنفس خشکی و فرسودگی میزان کلروفیل b به طور معنی‌داری کاهش پیدا کرد، به طوری‌که کمترین مقدار کلروفیل b (۰.۰۷۵ میلی‌گرم بر گرم وزن تر) در خشکی شدید باشد (۰.۰۷۵-۰.۱۵ مگاپاسکال و درجه فرسودگی ۷۵ درصد و در شرایط عدم پرایمینگ مشاهده شد. پژوهشگران کاهش کلروفیل در پاسخ به استرس خشکی را به افزایش فعالیت آنزیم کلروفیلاز نسبت داده‌اند (Ashraf *et al.*, 1994). در شرایط تنفس فرسودگی، کاهش رنگدانه‌های فتوسنتزی و کاهش سرعت واکنش هیل به علت تجزیه کلروپلاست، کاهش سنتز کلروفیل و کاهش تعداد پلاستیدها می‌باشد (Heba *et al.*, 2014).

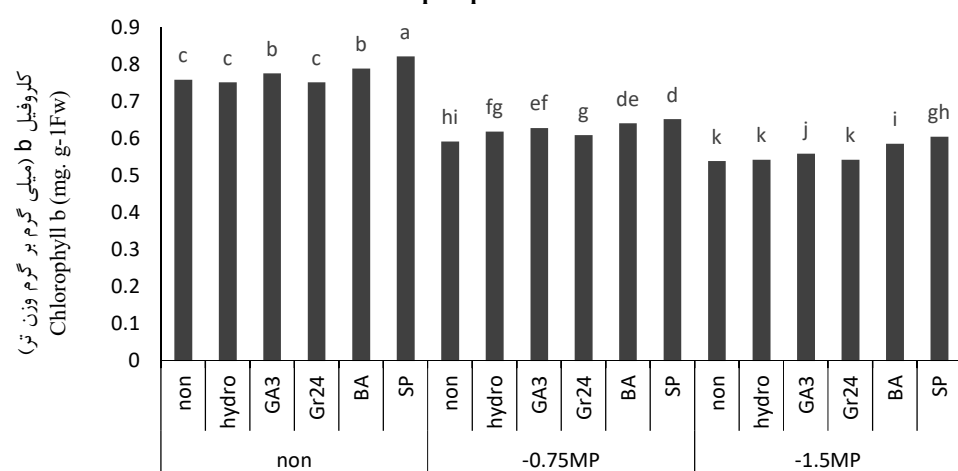
فعالیت آنزیمهای هیدرولیتیک روی غشای تیلاکوئید کلروپلاست اثر خود را می‌گذاردند (Valero *et al.*, 2002). گزارش شده است که افزایش محتوای کلروفیل در بذور پرایمینگ شده می‌تواند به منظور جبران کاهش سنتز کربن و یا تداوم چرخه آن در شرایط پیشروی شرایط تنفس خشکی باشد (Maxwell and Johnson, 2000).

محتوای کلروفیل b: طبق جدول تجزیه واریانس (جدول ۳) اثر سطوح مختلف خشکی، فرسودگی و پرایمینگ و نیز اثرات متقابل خشکی در پرایمینگ و فرسودگی بر تغییرات کلروفیل b در سطح یک درصد معنی‌دار بود. اما اثرات متقابل پرایمینگ و فرسودگی همچنین اثر متقابل خشکی در پرایمینگ معنی‌دار نبود. بر اساس نمودار



شکل ۶- اثر سطوح مختلف تنفس خشکی و فرسودگی بذر بر محتوای کلروفیل b گیاه کدو پوست کاغذی

Figure 6. Effect of different levels of drought stress and seed deterioration on chlorophyll b content of pumpkin



شکل ۷- اثر سطوح مختلف تنفس خشکی و پرایمینگ بذر بر محتوای کلروفیل b گیاه کدو پوست کاغذی

Figure 7. Effect of different levels of drought stress and priming on chlorophyll b content of pumpkin

نسبت کلروفیل a/b کاهش می‌یابد. بیشترین نسبت کلروفیل a/b (۲/۶۱) در شرایط عدم خشکی و فرسودگی و در تیمار بذور با هیدرو پرایمینگ به دست آمد. طبق تحقیقات انجام شده بر گندم تریتیکاله مشخص شده است که محتوای کلروفیل a، b و کاروتونئید تحت تاثیر تنفس خشکی در بذور پرایم شده نسبت به شاهد کمتر کاهش یافته و این در حالی است که افزایش در نسبت کلروفیل a/b در بذور پرایم شده مشاهده گردیده است (Abid *et al.*, 1984).

فتوسنتز: اثر سطوح مختلف خشکی، فرسودگی و پرایمینگ و نیز اثرات متقابل خشکی در پرایمینگ و فرسودگی بر میزان تغییرات فتوسنتز در سطح یک درصد معنی‌دار بود (جدول ۳). بر اساس جدول مقایسه میانگین (جدول ۲) کمترین میزان فتوسنتز (۰/۷۲۳) میکرومول دی اکسیدکربن بر متر مربع بر ثانیه) در خشکی با شدت ۱/۵- مگاپاسکال و درجه فرسودگی ۷۵ درصد و در عدم پرایمینگ بود. زمانی که دسترسی به آب محدود است، افزایش تنفس نوری به‌واسطه فعالیت اکسیژنازی بیشتر رویسکو سبب کاهش راندمان مصرف کربن می‌گردد (Caramelo and Iusem, 2009). علاوه بر مسیر تنفس نوری، فعالیت آنزیم رویسکو در شرایط تنفس خشکی نیز بازداشته می‌شود (Iannucci *et al.*, 2000). همچنین، به‌نظر می‌رسد کاهش سرعت فتوسنتزی تحت تاثیر تنفس خشکی نیز در نتیجه کاهش فتوسفریلاسیون و مهار سنتز ریبولوز بیس فسفات است که با مقدار کم ATP در نتیجه کاهش سنتز ATP ارتباط دارد (Lawlor and Cornie, 2002). از دیگر تاثیرات تنفس خشکی بر فتوسنتز می‌توان به بازدارندگی پس‌خوری، اشاره کرد این امر در شرایطی اتفاق می‌افتد که انتقال مواد فتوسنتزی به اندام‌های مقصد با محدودیت مواجه گردد (Wahid and Rasul, 2005). با توجه به این که گیاه کدو پوست کاغذی از ارقام حساس به تنفس خشکی می‌باشد، بنابراین انتظار می‌رود با افزایش شدت خشکی از RWC بافت این گیاه کاسته شده و به‌تبع آن عملکرد و فتوسنتز کاهش یابد. مطالعات نشان داده است در بذور فرسوده کاهش پروتئین محلول و کلروفیل با کاهش فعالیت رویسکو در برگ همراه است (Holaday *et al.*, 1992). کاهش مقدار و فعالیت رویسکو باعث کاهش فتوسنتز خالص می‌گردد (Salvucci and Crafts-Brandner, 2004). بنابراین،

با توجه به نتایج این پژوهش هر چه میزان فرسودگی و شدت تنفس کمتر بود، میزان کلروفیل b نیز بیشتر بود همچنین کاربرد پرایمینگ‌های مختلف توانست میزان کلروفیل b را بهبود ببخشد، بهطوری‌که بیشترین این کلروفیل b (۰/۸۲۳ میلی‌گرم بر گرم وزن تر) در شرایط عدم خشکی و فرسودگی و در پرایمینگ با اسپرمیدین به‌دست آمد (شکل ۷). کاربرد اسپرمیدین در شرایط خشکی و فرسودگی شدید نیز بهترین تیمار برای افزایش کلروفیل b بود. در شرایط تنفس خشکی، پرایمینگ با افزایش محتوای رنگریزه‌ها، آسیب به فعالیت کلروفیل متصل به پروتئین‌ها، که مرتبط با فتوسیستم II هستند را، به حداقل رسانده‌اند. بنابراین این پدیده می‌تواند به عنوان مکانیسم محافظت نوری سیستم فتوسنتزی در نظر گرفته شود که از طریق کاهش انتقال انرژی تهییج‌افته به مرکز واکنش PSII منجر به کاهش جذب انرژی نور توسط Špundová *et al.*, (2003). در نتیجه پرایمینگ از طریق حفظ ساختار و عملکرد رنگریزه‌های فتوسنتزی، از سیستم فتوسنتز II محافظت می‌کند.

نسبت کلروفیل a/b: نسبت کلروفیل a/b، نشانگر مهم مورد استفاده در توصیف توانایی گیاه در استفاده از انرژی Dale and (Causton, 1992) طول موج‌های مختلف نور می‌باشد (جدول ۳) اثر سطوح مختلف خشکی، فرسودگی و پرایمینگ و نیز اثرات متقابل خشکی در پرایمینگ و فرسودگی در سطح یک درصد و اثرات متقابل خشکی، فرسودگی و پرایمینگ در سطح ۵ درصد بر میزان تغییرات نسبت کلروفیل a/b معنی‌دار بود. تفاوت معنی‌داری در اثر متقابل فرسودگی و میزان فرسودگی وجود نداشت. مطابق جدول مقایسه میانگین (جدول ۲) کمترین میزان (۰/۹۹) در خشکی با شدت ۱/۵- مگاپاسکال و درجه فرسودگی ۷۵ درصد و در شرایط عدم پرایمینگ بود. کاهش در محتوی کلروفیل و کاروتونئید و افزایش در نسبت کلروفیل a/b در بذور شاهد نشان‌دهنده آسیب به سیستم فتوسنتزی و عدم سازگاری گیاه به شرایط نامساعد می‌باشد (Abid *et al.*, 1984). با توجه به این که در آزمایش انجام شده شدت خسارت ناشی از تنفس خشکی و فرسودگی بذور بر محتوای کلروفیل a بیش از کلروفیل b بود (حدود ۲ برابر)، بنابراین در این شرایط

کاهش فعالیت آنزیم آلفاامیلاز طی تنفس خشکی، منجر به کاهش تحرک مواد غذایی بذور گردید. بنابراین با توجه به نتایج مربوط به فعالیت آلفاامیلاز می‌توان چنین نتیجه‌گیری کرد که در طی تنفس، ذخایر بذری کمتر مصرف شده و مقدار کربوهیدرات باقیمانده در بذر بیشتر بود. همچنین در جریان فرایند فرسودگی بذر انسجام غشای سلولی کاهش می‌یابد و نفوذپذیری آن بهشت تاثیر قرار می‌گیرد، در نتیجه نشت الکتروولیتها از غشا نظیر هیدرات‌های کربن محلول، صورت می‌گیرد.

درصد چربی کل در بذر: اثر سطوح مختلف خشکی، فرسودگی و پرایمینگ و نیز اثرات متقابل خشکی در پرایمینگ و فرسودگی بر میزان تغییرات درصد چربی کل در سطح یک درصد معنی‌دار بود (جدول ۳). جدول مقایسه میانگین (جدول ۲) نشان داد که کمترین درصد چربی کل (۱۱/۱۶) در سطح شاهد خشکی، فرسودگی ۷۵ درصد و در شرایط عدم پرایمینگ است. افزایش سطح اسید آبسیزیک یکی از دلایل اصلی کاهش تحرک ذخایر غذایی طی جوانهزنی باشد (Penfield *et al.*, 2005). به‌نظر می‌رسد کاهش جذب آب بر اثر تنفس موجب تخریب ماکرومولکول‌ها می‌شود و فعالیت آنزیم‌های هیدرولیتیک را کاهش می‌دهد و با کاهش فعالیت این آنزیم‌ها تحرک ذخایر غذایی نیز کاهش پیدا می‌کند. با افزایش مدت زمان فرسودگی در بذرها روغنی، درصد اسیدهای چرب غیر Maristal and Robelval (2007). در نتیجه در شرایط فرسودگی بذور میزان تحرک ذخایر لیپیدی کمتر شده، بنابراین درصد روغن باقیمانده در بذر افزایش می‌یابد. بیشترین درصد چربی کل (۲۱/۲) در شرایط خشکی باشد ۱/۵ - مگاپاسکال، عدم فرسودگی و در پرایمینگ با اسپرمیدین مشاهده شد (جدول ۲). بسر و همکاران (Basra *et al.*, 2003) گزارش کردند که استریگولاکتون منجر به افزایش درصد روغن می‌گردد. عباس‌صدر و همکاران (Abbas Sadr *et al.*, 2018) افزایش درصد روغن بذور پرایمینگ شده کرچک را تحت تنفس خشکی گزارش دادند. بنابراین به‌نظر می‌رسد پرایمینگ بذور می‌تواند افزایش درصد چربی ناشی از تنفس خشکی بذر را تقلیل بخشد.

فعالیت آنزیم آلفاامیلاز: اثر سطوح مختلف خشکی، فرسودگی و پرایمینگ و نیز اثرات متقابل آنها بر میزان تغییرات آنزیم آلفاامیلاز در سطح یک درصد معنی‌دار بود

با توجه به خسارت واردشده بر فعالیت رنگرزهای نوری طی فرسودگی بذر کاهش میزان فتوسنتز قابل توجیه است. بیشترین میزان ۵/۸۳۳ میکرومول دی اکسید کربن بر متر مربع بر ثانیه) در شرایط عدم خشکی و فرسودگی و در پرایمینگ با اسپرمیدین مشاهده شد. پلی-آمین‌ها از طریق کاهش تخریب کلروفیلی و یا بهبود آن منجر به افزایش کارایی جذب نور و بهبود فتوسنتز خالص می‌گردند (Adam and Murthy, 2013) (Farooq *et al.*, 2009) گزارش کردند کاربرد خارجی پلی‌آمین‌ها منجر به بهبود ویژگی‌ها فتوسنتزی، راندمان مصرف آب و بهویژه فتوسنتز خالص در سطوح مختلف تنفس خشکی گردید. با توجه به تأثیر اسپرمیدین بر روابط آبی گیاه در شرایط تنفس به نظر می‌رسد این هورمون از طریق بهبود وضعیت آب سلولی منجر به رشد بهتر بذور و بهتیع آن بهبود میزان تولید و فتوسنتز (Omoarelojie *et al.*, 2020) از طرفی Gr24 از طریق افزایش نشان داد که پرایمینگ بذر با میزان ۱۱/۱۶ درصد چربی کل در سطح شاهد خشکی، فرسودگی ۷۵ درصد و در شرایط عدم پرایمینگ موجب بهبود جوانهزنی شد. سیستم دفاع آنتی‌اکسیدانت موجب بهبود جوانهزنی شد.

محتوای کل قندهای محلول: مطابق جدول تجزیه واریانس (جدول ۳) اثر سطوح مختلف خشکی، فرسودگی و پرایمینگ و نیز اثرات متقابل خشکی در پرایمینگ و فرسودگی همچنین تاثیر متقابل خشکی، فرسودگی و پرایمینگ بر محتوای تغییرات محتوای کل قندهای محلول در سطح یک درصد معنی‌دار بود. اثر متقابل پرایمینگ در فرسودگی معنی‌دار نبود. با افزایش شدت فرسودگی محتوای قندهای محلول کاهش یافت، این در حالی بود که خشکی موجبات افزایش آن را فراهم کرد و مطابق جدول مقایسه میانگین (جدول ۲) کمترین محتوای قندهای محلول ۳۵۴/۳۳ میلی‌گرم بر گرم وزن (تر) در درجه فرسودگی ۷۵ درصد در شرایط عدم خشکی در بذور شاهد بهدست آمد. بیشترین محتوای قندهای محلول (۱۵۶۱/۳۳) میلی‌گرم بر گرم وزن (تر) در شرایط عدم فرسودگی، خشکی باشد ۰/۷۵ - مگاپاسکال و تیمار بهروش هیدرопرایمینگ بهدست آمد. گزارش شده است که تنفس خشکی با محدود کردن جذب آب توسط بذر، بر حرکت و انتقال ذخایر بذر تأثیر گذاشت، بنابراین از این طریق جوانهزنی را تحت تأثیر قرار می‌دهد (Dodd and Sedghi, 1999) (and Donovan, 1999) (Tolouie, 2018) نیز در بررسی بذور سویا بیان نمودند

خشکی و فرسودگی بر جوانهزنی بذر و بهبود شرایط از طریق پرایمینگ با مواد مختلف بود. با توجه به نتایج به دست آمده کاربرد پرایمینگ‌های مختلف از جمله جیبرلین، Gr24، بنزیل آموینوپورین، اسپرمیدین و حتی هیدروپرایمینگ توانستند به افزایش شاخص‌های فیزیولوژیک در زمان تنفس و فرسودگی‌های شدید کمک کنند، اما هورمون‌پرایمینگ با جیبرلین بیشتر از سایر تیمارها بر شرایط نامساعد غلبه کرد. با این وجود Gr24 و اسپرمیدین در شرایط تنفس و بدون تنفس (شاهد) توانایی زیادی در بهبود جوانهزنی بذر داشتند، بهطوری‌که در شرایط تنفس خشکی و فرسودگی شدید، اسپرمیدین در مورد کلروفیل *b* و وزن خشک ساقه‌چه داشته باشد. از بیشتر و موثرتری نسبت به جیبرلین داشته باشد. از طرفی کاربرد جیبرلین، Gr24، بنزیل آموینوپورین، اسپرمیدین و هیدروپرایمینگ در شرایط نرمال نیز به افزایش صفات مربوط به جوانهزنی کمک کردند که نشان می‌دهد هر کدام از این مواد می‌توانند تاثیر مثبتی بر جوانهزنی بذرها کدو داشته باشند.

تشکر و قدردانی

نگارنده‌گان از مسئول آزمایشگاه علوم و تکنولوژی بذر دانشکده علوم کشاورزی دانشگاه محقق اردبیلی تشکر و قدرانی می‌نمایند.

(جدول ۳). جدول مقایسه میانگین (جدول ۲) نشان می‌دهد که کمترین میزان فعالیت آلفا‌امیلаз ۱۲/۳۷ میکروگرم نشاسته برگرم در دقیقه بافت (تر) در خشکی باشد ۱/۵ - مگاپاسکال و درجه فرسودگی ۷۵ درصد و در آبی بر اثر تأثیرات منفی بر متابولیسم قندها کاهش می‌یابد (Kaur *et al.*, 2000). طبق گزارش‌های موجود با افزایش سطح فرسودگی بذر در گندم، میزان آلفا و بتا آمیلاز که از آنزیمهای هیدروولیتیک در فرآیند جوانهزنی هستند، کاهش می‌یابد (McDonald, 1999) (Biesanz, 2000) میزان ۶۶/۴۰ میکروگرم نشاسته برگرم در دقیقه بافت (تر) در شرایط عدم خشکی و فرسودگی و در پرایمینگ بذور با هورمون جیبرلین به دست آمد. عنوان شده است که در اثر پرایمینگ بذر، آنزیمهای تجزیه‌کننده ذخایر بذر از قبیل آلفا و بتا آمیلاز و آندوبیتاناناز در تجزیه (هیدرولیز) کربوهیدرات‌ها و سست کردن آندوسپرم، ایزوسیترات لیاز در هیدرولیز چربی‌ها و پروٹئاز در هیدرولیز پروتئین، فعالیت‌شان افزایش یافته و بر صفات جوانهزنی تاثیر مثبت داشتند (Anese, 2011). بنابرین جیبرلین با تاثیر بر فاکتورهای جوانهزنی از جمله آنزیمهای مورد نیاز منجر به بهبود صفات جوانهزنی می‌گردد.

نتیجه‌گیری کلی

مهم‌ترین هدف این پژوهش بررسی تاثیر متقابل تنفس

منابع

- AbbasiSadr, S., Sharafi, S. and Hassanzadeh Ghorttape, A.A. 2018. Effect of Drought Stress and Seed Priming on some Vegetative and Reproductive Traits of Castor bean (*Ricinus Communis L.*) var Esfahan. Journal of Crop Plant Ecophysiology, 12(45): 75-88. (In Persian)(Journal)
- Abi, H. 1984. Catalase in vitro. Method of enzymology, 105: 121-126. (Journal)
- Abida, M., Hakeema, A., Shaoa, Y., Liua, Y., Zahoor, R., Fanc, Y., Suyud, J., Ata-Ul-Karima, S.T., Tiana, Z., Jiang, D., Snidere, J. and Dai, T. 2018. Seed Osmopriming Invokes Stress Memory Against Post-Germinative Drought Dtress in Wheat (*Triticum aestivum L.*). Environmental and Experimental Botany, 145: 12-20. (Journal)
- Adam, S. and Murthy, S. 2013. Role of Polyamines and Their Effect on Photosynthesis in Plants. Pharmaceutical, Biological and Chemical Sciences, 4: 596-605. (Journal)
- Anese, S. 2011. Seed Priming Improves Endosperm Weakening, Germination, and Subsequent Seedling Development of *Solanum lycocarpum* St. Hill. Seed Science Technology, 39: 125-139. (Journal)
- Ashraf, M.Y., Azmi, A.R., Khan, A.H. and Ala, S.A. 1994. Effect of Water Stress on Total Phenols, Peroxidase Activity and Chlorophyll Content in Wheat. Acta Physiologiae Plantarum-Scimago, 16(3): 185-191. (Journal)
- Bailly, C., Benamar, A., Corbineau, F. and Come, D. 2000. Antioxidant system in sunflower (*Helianthus annuus L.*) seeds as affected by priming. Seed Science Research, 10: 35-42. (Journal)

- Basra, S.M., Ullah, E., Warriach, E.A., Cheema, M.A. and Afzal, I. 2003. Effect of storage on growth and yield of primed canola (*Brassica napus* L.) seeds. International Journal of Agri and Biology, 5: 1117-1120. **(Journal)**
- Bastam, N., Baninasab, B. and Ghobadi, C. 2013. Improving salt tolerance by exogenous application of salicylic acid in seedlings of pistachio. Plant Growth Regulation, 69: 275-284. **(Journal)**
- Bruisma, J. 1963. The quantitative analysis of chlorophyll a and b in plant extract. Photochem. Photobil, 12: 241-249.
- Caramelo, J.J. and Iusem, N.D. 2009. When cells lose water: Lessons from biophysics and molecular biology. Progress in Biophysics and Molecular Biology, 99 :1-6. **(Journal)**
- Dale, M.P. and Causton, D.R. 1992. Use of the chlorophyll a/b ratio as a bioassay for the light environment of a plant. Functional Ecology, 6: 190-196. **(Journal)**
- Delouche, J.C. and Baskin, C.C. 1973. Accelerated aging techniques for predicting the relative storability of seed lots. Seed Science and Technology, 1: 427-452. **(Journal)**
- Dodd, G.L. and Donovan, L.A. 1999. Water potential and ionic effects on germination and seedling growth of two cold desert shrubs. American Journal of Botany, 86:1146-153. **(Journal)**
- Doman, D.C., Walker, J.C., Trelease, R.N. and Moore, B.D. 1982. Metabolism of carbohydrate and lipidreserves in germinated cotton seeds. Planta, 155(6):502-510. **(Journal)**
- Dubois, M., Gilles, K.A., Hamilton, J.K., Rebers, P.A.T. and Smith, F. 1956. Colorimetric method for determination of sugars and related substances. Analytical Chemistry, 28(3): 350-356. **(Journal)**
- Duman, I. 2006. Effects of seed priming with PEG or K₃P on Germination and seedling Growth in Lettuce. Pakistan Journal of Biological Science, 9(5): 923-928. **(Journal)**
- Farooq, M., Wahid, A. and Lee, D.J. 2009. Exogenously applied polyamine increases drought tolerance of rice by improving leaf water status, photosynthesis and membrane properties. Acta Physiol Plant, 31: 937-945. **(Journal)**
- Fazel Kakhaki, F., Nazemi, A., Parsa, M. and Kafi, M. 2014. Evaluation of germination indices and seedling growth of native sesame under salinity stress. Environmental Stresses in Agricultural Sciences, 7(2): 232-217. **(In Persian)(Journal)**
- Fruhwirth, G.O. and Hermetter, A. 2008. Production technology and characteristics of Styrian pumpkin seed oil. European Journal of Lipid Science Technology, 110: 637-644. **(Journal)**
- Ghahremani, S., Sedghi, M. and SeyedSharifi, R. 2017. Effect of different seed deterioration treatments and germination under different temperatures on the activity of antioxidant enzymes and lipid peroxidation in Pumpkin. Iranian Journal of Seed Science and Technology, 6(1), 205-218 **(In Persian)(Journal)**
- Goel, A., Goel, A.K. and Sheoran, I.S. 2003. Changes in oxidatives stress enzymes during artificial aging in Cotton (*Gossypium hirstum* L.) seed. Plant Physiology, 160: 1093-1100. **(Journal)**
- Hampton, J.G. 2003. Methods of Viability and Vigour Testing: a Critical and Appraisal In. Seed Quality. pp: 81-118. **(Book)**
- Hardegree, S.P. and W.E. Emmerich, 1990. Effect of polyethylene glycol exclusion on the water potential of solution saturated filter paper. Plant Physiology, 92: 462-466. **(Journal)**
- Heba, I. and Samia, M. 2014. Influence of Garlic Extract On Enzymatic and Non Enzymatic Antioxidants in Soybean Plants (*Glycine Max*) Grown under Drought Stress. Life Science Journal, 11(3): 46-58. **(Journal)**
- Holaday, A.S., Ritchie, S.W. and Neguyen, H.T. 1992. Effect of water deficit on gas exchange parameters and ribulose 1,5-bisphosphate carboxylase activation in wheat. Environmental and Experimental Botany, 32: 403-409. **(Journal)**
- Iannucci, A., Rascio, A., Russo, M., Fonzoand, N. and Martiniello, P. 2000. Physiological responses to water stress following a conditioning period in berseem clover. Plant and Soil, 223: 217-227. **(Journal)**
- ISTA, 2002. International Rules of Seed Testing. Seed Science and Technology, 20: 53-55. **(Journal)**
- ISTA, 2007. International Rules for Seed Testing. Seed Science and Technology, 13: 299-520. **(Journal)**
- Jahanbakhshi, P., Abdali, A.R., Habibi-Khaniani, B. and Sharafi-Zadeh, M. 2012. Effects of osmoprimer on germination and yield of three mung bean cultivars under deterioration seed. Journal of Crop Physiology. Islamic Azad University, Ahvaz Branch, 4(16): 19-32. **(In Persian)(Journal)**

- Joodi, M. and Sharifzadeh, F. 2009. Investigation of hydropriming effects on barley cultivars. *Desert*, 11(1): 99-109. (**Journal**)
- Karimzadeh Hosseiniyan, Y., Barzegar, A.M., Sadrabadi Haghghi R. and Bakhtiari, S. 2013. Comparison of the effect of priming on improving the germination characteristics of squash seeds under drought stress conditions. *Journal of Seed Research*, 3(3): 64-53. (**Journal**)
- Kato, M. and Shimizu, S. 1985. Chlorophyll metabolism in higher plant. *Plant Cell Physiology*, 26: 1291-1301. (**Journal**)
- Kaur, S.A., Gupte, K. and Kaur, N. 2000. Seed priming increases crop yield possibly by modulating enzymes of sucrose metabolism in chickpea. *Journal of Agronomy and Crop Science*, 191: 81-87. (**Journal**)
- Khalaki, M.A., Ghorbani, A. and Dadjou, F. 2019. Influence of Nano-Priming on *Festuca ovina* Seed Germination and Early Seedling Traits under Drought Stress, in Laboratory Condition Influence of Nano-Priming on *Festuca ovina* Seed Germination and Early Seedling Traits under Drought Stress, in Laboratory. *Ecopersia*, 7(3):133-139. (**Journal**)
- Khaliliaghdam, N. 2011. The effect of seed aging on the soybean seedling growth as affected by environmental factors. The thesis for the degree of Ph.D. in agronomy. Gorgan University of agricultural sciences and natural resources. (**Thesis**)
- Larcher, W. 2001. *Physiological Plant Ecology*. Springer verlag Berlin Heidelberg New York Germany, 505. (**Book**)
- Lawlor, D.W. and Cornie, G. 2002. Potosynthetic carbon assimilation and associated metabolism in relation to water deficits in higher plants. *Plant Cell Environment*, 25: 275-294. (**Journal**)
- Maristal, P. and Robelval, D. 2007. Electrical conductivity and deterioration of soybean seeds exposed to deferent storage conditions. *Revista Brasileira de Sementes*, 29: 97-105. (**Journal**)
- Maxwell, K. and Johnson, G.N. 2000. Chlorophyll fluorescence-a practical guide. *Journal of Experimental Botany*, 51: 659-668. (**Journal**)
- McDonald, M.B. 1999. Seed deterioration: physiology, repair and assessment. *Seed Science Technology*, 27: 177-237. (**Journal**)
- Michel, B.E. and Kaufmann, M.R. 1973. The osmotic potential of polyethylene glycol 6000. *Plant Physiology*, 51(5): 914-6. (**Journal**)
- Mohamed, A., Tayeb, E.L. and Naglaa, A. 2010. Response of wheat cultivars to drought and salicylic acid. *American-Eurasian Journal of Agronomy*, 3: 01-07. (**Journal**)
- Moradi, A. and Younesi, O. 2009. Effect of Osmo- and Hydro-priming on seed parametrs of Grain Sorghum (*Sorghum bicolor* L.). *Australian Journal of Basic and Applied Sciences*, 3(3): 1696-1700. (**Journal**)
- Omoarelojie, L.O., Kulkarni, M.G., Finnie, J.F., Pospíšil, T., Strnad, M. and VanStaden, J. 2020. Synthetic strigolactone (rac-GR24) alleviates the adverse effects of heat stress on seed germination and photosystem II function in lupine seedlings. *Plant Physiology and Biochemistry*, 155: 965-979. (**Journal**)
- Penfield, S., Josse, E.M., Kannangara, R., Gilday, A.D., Halliday, K.J. and Graham, I.A. 2005. Cold and light control seed germination through the bHLH transcription factor SPATULA. *Current Biology*, 156(1): 1998-2006. (**Journal**)
- Pessarakli, M. 2002. *Handbook of Plant and Crop Physiology*. Marcel Dekker. NewYork. (**Book**)
- Rastegar, Z., Sedghi, M. and Khomari, S. 2011. Effects of accelerated aging on soybean seed germination indexes at laboratory conditions. *Notulae Scientia Biologicae*, 3: 126-129. (**Journal**)
- Riazi, A.E. and Sharifzadeh, F. 2009. Study of germination of primed seeds of forage millet species in response to low temperature, drought stress and salinity. *Iranian Journal of Crop Science*, 2(40): 53-66. (In Persian)(**Journal**)
- Riazi, A.E., Sharifzadeh, F. and Ahmadi, A. 2007. Effect of osmopriming on seeds germination of forage millet. *Research and construction in agriculture and horticulture*, 77: 72-82. (In Persian)(**Journal**)
- Rowse, H.R., McKee, J.M.T. and Finch-Savage, W.E. 2001. Memberance priming: a method for small samples of high value seeds. *Seed Science and Technology*, 29: 587-597. (**Journal**)
- Salvucci, M.E. and Crafts-Brandner, S.J. 2004. Inhibition of photosynthesis by heat stress: the activation state of Rubisco as a limiting factor in photosynthesis, 120: 179-186. (**Journal**)

- Sedghi, M. and Tolouie, S. 2018. Effect of nano-zinc oxide and drought stress on the activity of hydrolytic enzymes and seed reserves mobilization of soybean (*Glycine max* L.) Cultivar Katul (DPX). Iranian Journal of Seed Science and Research, 5(3): 1-17. (In Persian)(Journal)
- Sedghi, M., Amanpour-Balaneji, B. and Bakhshi, J. 2014. Physiological enhancement of medicinal pumpkin seeds (*Cucurbita pepo* var. *styriaca*) with different priming methods. Iranian Journal of Plant Physiology, 5(1):1209-1215. (In Persian)(Journal)
- Sedghi, M., Nemati, A. and Esmaelpour, B. 2010. Effect of seed priming on germination and seedling growth of two medicinal plants under salinity. Emir Journal Food Agric, 22(2): 130-139. (Journal)
- Shariatmadri, M.H., Parsa, M., Nezami, A. and Kafi, M. 2017. Effect of hormonal priming with gibberllic acid on emergence, growth and yield of chickpea under drought stress. Bioscince Research, 1: 34-41. (Journal)
- Sheidaei, S., Heidari Sharisabad, H., Hamidi, A., Noormohammadi, G. and Moghaddam, A. 2016. Effect of storage condition, initial seed moisture content and germination on soybean seed deterioration. Iranian Journal of Seed Research, 2(2): 31-47. (In Persian)(Journal)
- Shekari, F., Baljani, R., Saba, J., Afsahi, K. and Shekari, F. 2010. Effect of seed priming with salicylic acid on growth characteristics of borage (*Borago officinalis* L.) plants seedlings. Journal of Agricultural Science, 6: 47-53. (Journal)
- Shekari, F., Miar Sadeghi, S., Fotut, R. and Zangani, A. 2010. The effect of salicylic acid pretreatment on vigor and canola seedling growth in water deficit conditions. Plant Biology, 2(6): 55-70. (In Persian)(Journal)
- Sheteiwy, M., Shen, H., Xu, J., Guan, Y., Song, W. and Hu, J. 2017. Seed polyamines metabolism induced by seed priming with spermidine and 5-aminolevulinic acid for chilling tolerance improvement in rice (*Oryza sativa* L.) seedlings. Environmental and Experimental Botany, 137:58-72. (Journal)
- Sivritepe, N., Sivritepe, H.O. and Eris, A. 2003. The effects of NaCl priming on salt tolerance in melon seedling grown under saline conditions. Scientia Holticulturae, 97(3-4): 229-237. (Journal)
- Soltani, A., Galeshi, S., Zeinali, E. and Latifi, N. 2001. Genetic variation for and interrelationships among seed vigor traits in wheat from the Caspian Sea coasts of Iran. Seed Science and Technology, 29: 653-662. (Journal)
- Soltani, A., Robertson, M.J., Torabi, B., Yousefi-Daz, M. and Sarparast, R. 2006. Modeling seedling emergence in chickpea as influenced by temperature and sowing depth. Agriculture For Meteorol, 138: 156-167. (Journal)
- Špundová, M., Popelková, H., Ilík, P., Skotnica, J., Novotný, R. and Nauš, J. 2003. Ultrastructural and functional changes in the chloroplasts of detached barley leaves senescing under dark and light conditions. Journal of Plant Physiology, 160: 1051-1058. (Journal)
- Sveinsdottir, H., Yan, F. and Zhu, Y. 2009. Seed ageing-induced inhibition of germination and postgermination root growth is related to lower activity of plasma membrane H⁺-ATPase in maize roots. Journal of Plant Physiology, 166: 128-135. (Journal)
- Tavakol Afshari, R.S., Rashidi, S. and Alizadeh, H. 2009. Effects of seed aging on germination characteristics and on catalase and peroxidase activities in two canola cultivars (*Brassica napus* L.). Iranian Journal of Field Crop Science, 40: 125-133. (Journal)
- Valero, D., Martinez-Romero, D. and Serrano, M. 2002. The role of polyamines in the improvement of the shelf life of fruit. Trends in Food Science and Technology, 13: 228-234. (Journal)
- Wahid, A. and Rasul, E. 2005. Potosynthesis in, Stem, Flower, and Fruit. In: Pessarakli, M. ed. handbook of photosynthesis. pp: 4794-4797. (Book)
- Yagmur, M. and Kaydan, D. 2008. Alleviation of osmotic stress of water and salt in germination and seedling growth of triticale with seed priming treatments. African Journal of Biotechnology, 7(13): 2156-2162. (Journal)
- Yaniv, Z., Shabelsky, E. and Schafferman. D. 1999. Colocynth: Potential Arid Land Oilseed from an Ancient Cucurbit. Perspectives on new crops and new uses. Janick, J. (ed.), ASHS Press, Alexandria, VA. pp: 25-261. (Book)
- Zanganeh, R., Jamei, R. and Rahmani, F. 2018. Impacts of seed priming with salicylic acid and sodium hydrosulfide on possible metabolic pathway of two amino acids in maize plant under lead stress. Molecular Biology Research Communications, 7(2):83-88. (Journal)



Effect of seed priming on germination and seedling characteristics of aged squash Seeds under drought stress

Parisa Sheikhnaz Jaled¹, Mohammad Sedghi^{2*}, Raouf Seyed Sharifi³, Omid Sofalian⁴

Received: September 19, 2021

Accepted: November 15, 2021

Abstract

In order to investigate the effect of priming on different aspects of germination of aged pumpkin seeds under drought stress, a factorial experiment was conducted based on a completely randomized design with four replications in the laboratory. Treatments included different levels of aging (control, 85% and 75% of control germination), drought stress (0, -0.75 and -1.5 MPa), and priming with 100 µM of (control, hydro, gibberellin, GR24, benzyl aminopurine and spermidine). The seeds reached the desired vigor level by accelerated ageing test. Results of mean comparison showed that the lowest germination rate (2.11), fresh weight of radical (0.075 g), fresh weight of plumule (0.123 g), dry weight of radical (0.0082 g), dry weight of plumule (0.0079 g), chlorophyll a (0.403 mg.g⁻¹FW), chlorophyll b (0.43 mg.g⁻¹FW), chlorophyll a/b (0.99), photosynthesis 0.723 µmolCO².mm⁻¹.s⁻¹) and α-amylase activity (12.37 µgStarch.g⁻¹.minFW) were related to drought treatment with an intensity of -1.5 MPa and with 75% aging in the absence of priming. The lowest of germination uniformity (0.97) was obtained in the absence of drought and aging in priming with gibberellin. The lowest amount of carbohydrates (354.33 µmol.g⁻¹FW) and total oil percentage (11.16) were obtained in the absence of drought and priming with 75% aging. The highest germination rate (15.56) in hormone-priming with gibberellin, fresh weight of radical (0.255 g) in priming with hydropriming, fresh weight of plumule (0.305 g) in priming with hydropriming, dry weight of radical (0.014 g) in hormone-priming with gibberellin, dry weight of plumule (0.0188 g) in priming with gibberellin, chlorophyll a (1.876 mg.g⁻¹FW) in priming with spermidine, chlorophyll b (0.76 mg.g⁻¹FW) in priming with spermidine, chlorophyll a/b (0.99) in priming with hydropriming, photosynthesis (5.833 µmolCO².mm⁻¹.s⁻¹) in priming with spermidine and α-amylase activity (66.4 µgStarch.g⁻¹.minFW) in hormone-priming with gibberellin were obtained in the absence of drought and aging stress. The highest germination uniformity (4.87) was related to drought treatment with an intensity of -1.5 MPa and with 75% aging in the absence of priming. The highest amount of carbohydrate (1561.33 µmol.g⁻¹FW) was related to drought treatment with an intensity of -0.75 MPa and in the absence of aging and with of priming hydropriming. The highest amount of total oil percentage (21.2) was related to drought treatment with an intensity of -1.5 MPa, absence of ageing and priming with spermidine.

Key Words: Fresh weight; Growth traits; Hormones; Seedlings

How to cite this article

Sheikhnaz Jaled, P., Sedghi, M., Seyed Sharifi, R. and Sofalian, O. 2022. Effect of seed priming on germination and seedling characteristics of aged squash Seeds under drought stress. Iranian Journal of Seed Science and Research, 9(2): 31-48. (In Persian)(Journal)

DOI: 10.22124/jms.2022.6150

COPYRIGHTS

Copyrights for this article are retained by the author(s) with publishing rights granted to the Iranian Journal of Seed Science and Research

The content of this article is distributed under Iranian Journal of Seed Science and Research open access policy and the terms and conditions of the Creative Commons Attribution 4.0 International (CC-BY4.0) License. For more information, please visit <http://jms.guilan.ac.ir/>

1. Ph.D. Student, University of Mohaghegh Ardabili, Ardabil, Iran. jahed.parisa@yahoo.com
2. Professor, Department of Plant Production and Genetics, University of Mohaghegh Ardabili, Ardabil, Iran. m_sedghi@uma.ac.ir
2. Professor, Department of Plant Production and Genetics, University of Mohaghegh Ardabili, Ardabil, Iran. rssharp@yahoo.com
2. Professor, Department of Plant Production and Genetics, University of Mohaghegh Ardabili, Ardabil, Iran. sofalian@uma.ac.ir

*Corresponding author: m_sedghi@uma.ac.ir